

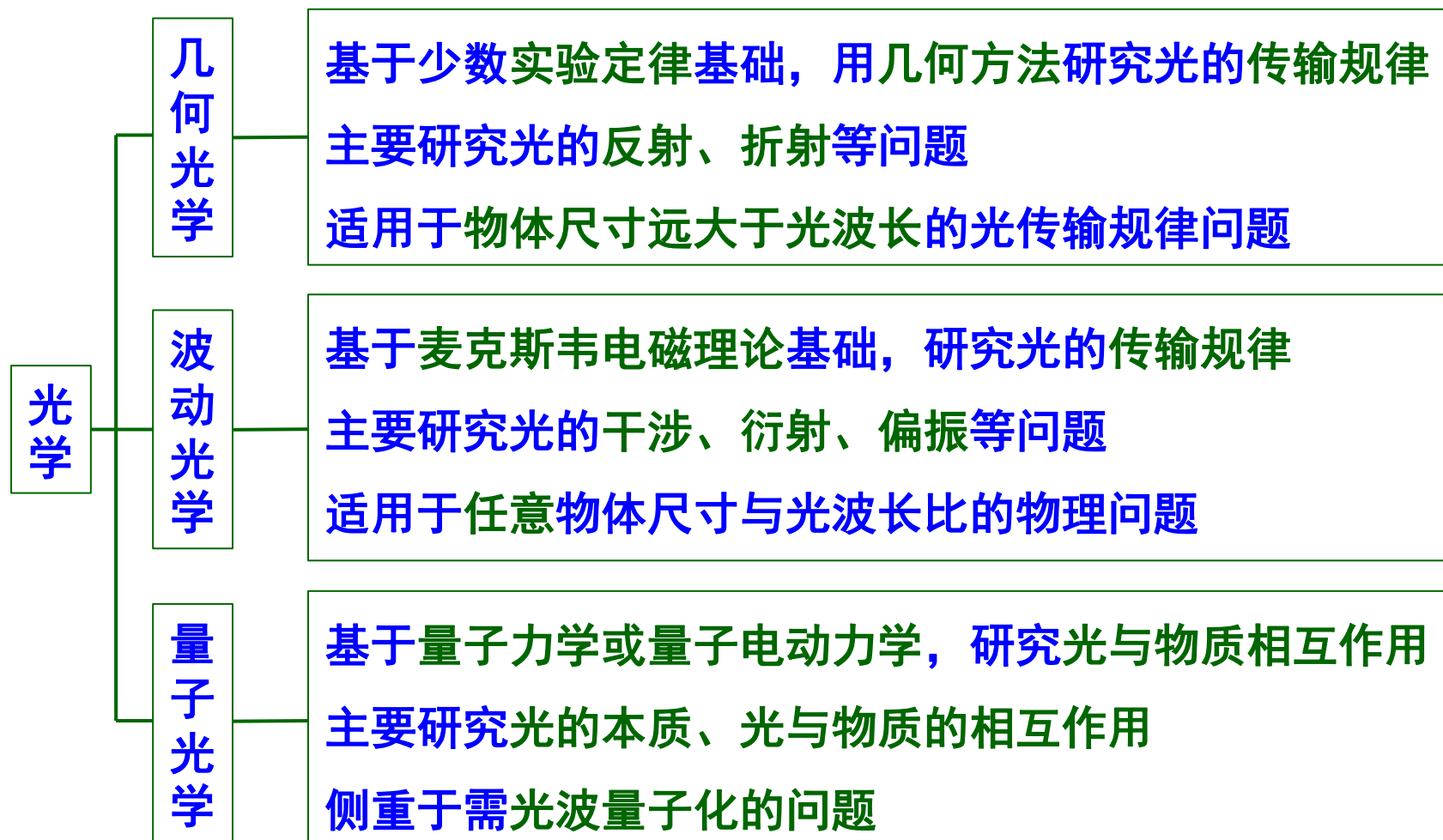
# 波动光学 · 光的干涉

授课教师 崔海娟



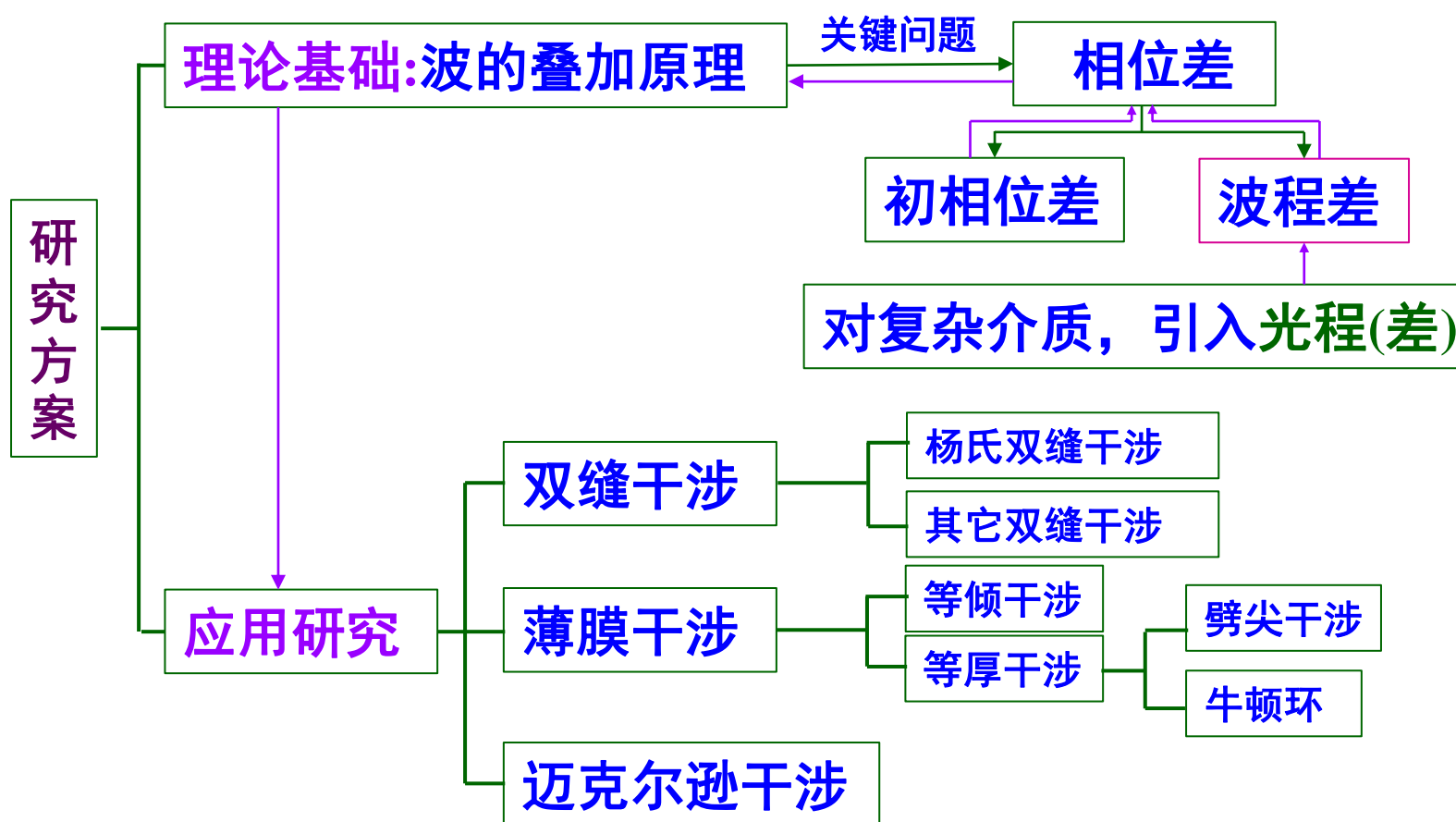
## 光学内容结构体系

研究对象：研究光在介质中的传输规律及其与物质的相互作用



## 干涉问题的研究方案

研究目标:定量分析多列光波在公共叠加区域光强的时空分布



## 13.1 干涉问题的解析分析

### 13.1.1 波动光学预备知识

#### 1. 光波的相关概念

光波：由变化的电场、磁场相互激发，由近及远传播形成的波

光矢量：电磁波中引起化学与视觉效应的电场强度矢量 $E$

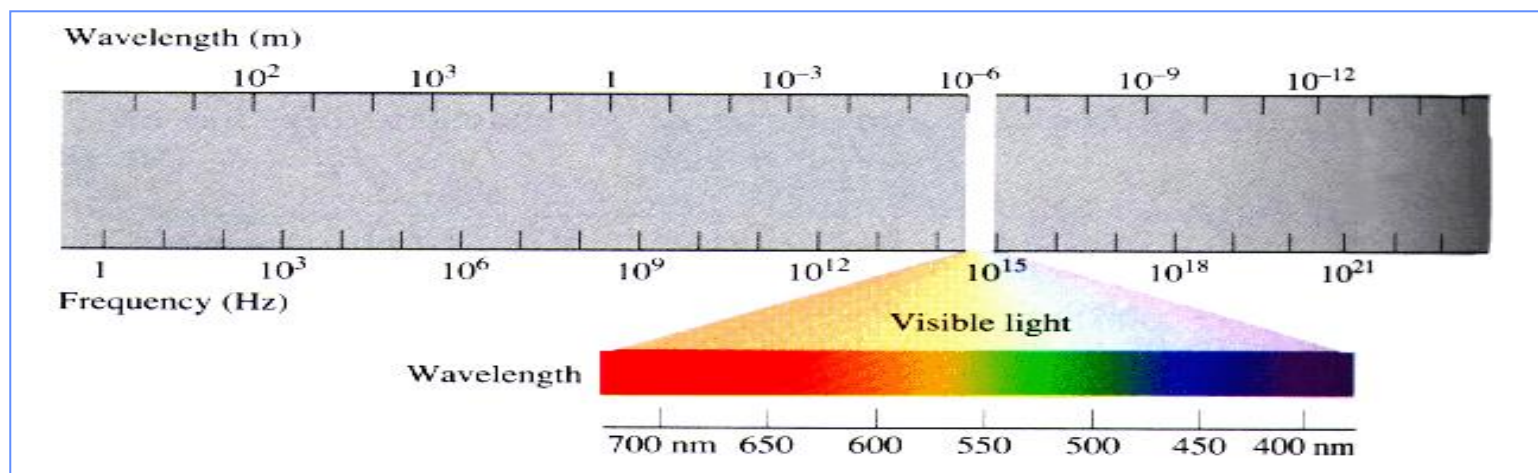
光振动：电场强度矢量 $E$ 随时间的周期变化称为光振动（光为横波）

光强度：光的强度正比于光振动的振幅平方 ( $I \propto E^2$ )

电磁波的能流密度  $\vec{S} = \vec{E} \times \vec{H}$       波强为  $I = \bar{S} = \bar{E}\bar{H} = \sqrt{\frac{\epsilon_0}{\mu_0}} \bar{E}^2$

光波的颜色：不同频率的光波能引起人视觉的不同颜色

光的频谱：按光的波长(或频率)顺序排列而成的频谱图



可见光

$$\nu: 3.95 \times 10^{14} \sim 7.69 \times 10^{14} \text{ Hz}$$

真空中的波长

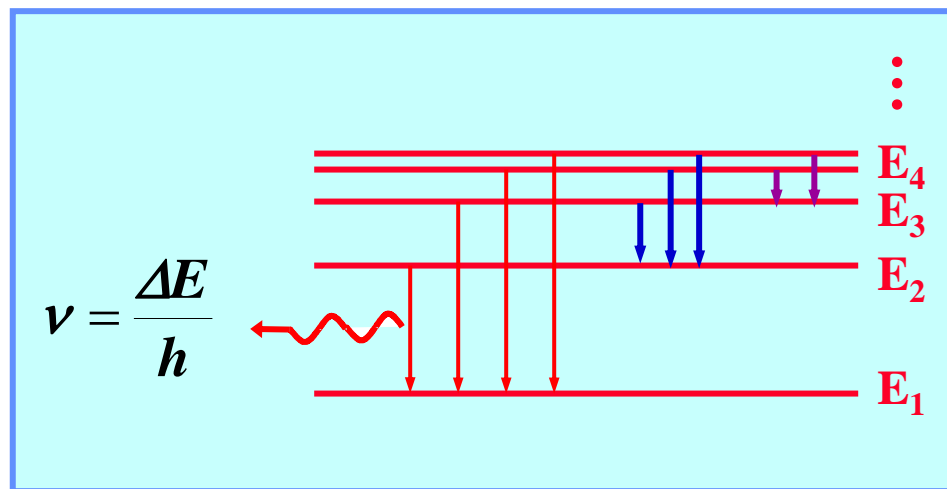
$$\lambda = \frac{c}{\nu}: 7600 \text{ \AA} \sim 3900 \text{ \AA} \quad (1 \text{ \AA} = 10^{-10} \text{ m})$$

## 2.光源、原子的发光模型

能发射光波的物体称为光源。光源的最基本发光单元是原子(或分子)。

### ➤原子存在状态

- 分离定态
- 能级
- 基态与激发态



### ➤原子的发光机制

被激发到较高能级的原子跃迁到低能级时，多余的能量以电磁波的形式辐射出来。

原子每一次跃迁都发出一个光波波列，其频率：

$$\nu = \frac{\Delta E}{h} \quad (h=6.63 \times 10^{-34} \text{J}\cdot\text{s})$$

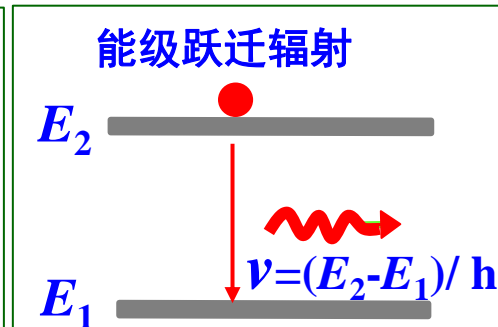
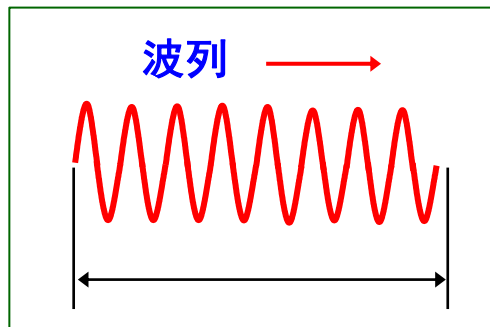
波列持续时间有限  $\Delta t \sim 10^{-8} \text{s}$

波列长度有限  $\Delta x = c \cdot \Delta t$

## (1) 普通光源发光(自发辐射):

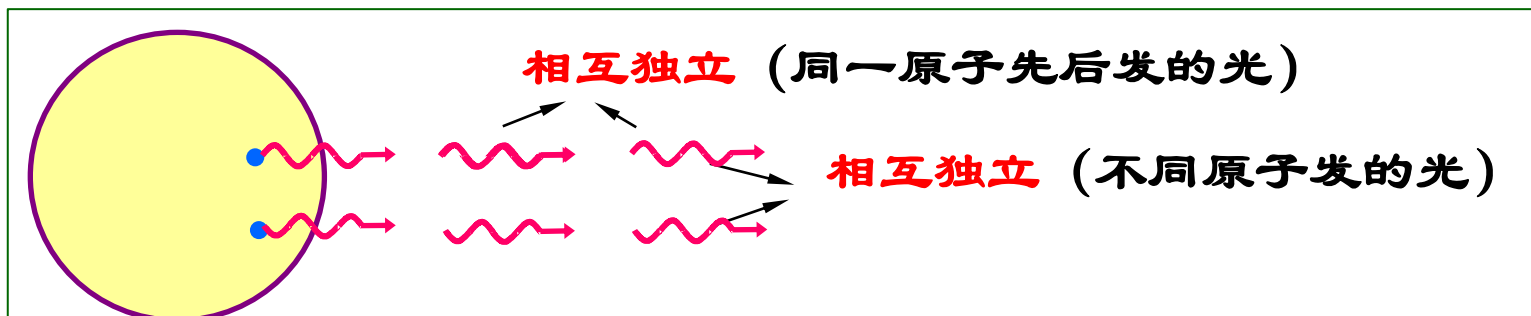
### I 原子发光

- 原子发光是断续的，每次发光形成一个短短的波列；
- 同一原子先后发的光、不同原子发的光波列均不相干；
- 各原子各次发光相互独立，各波列互不相干。

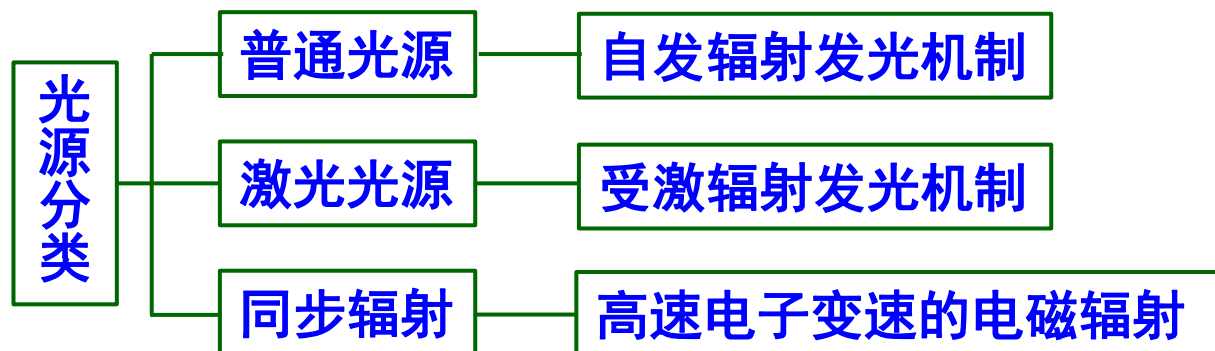
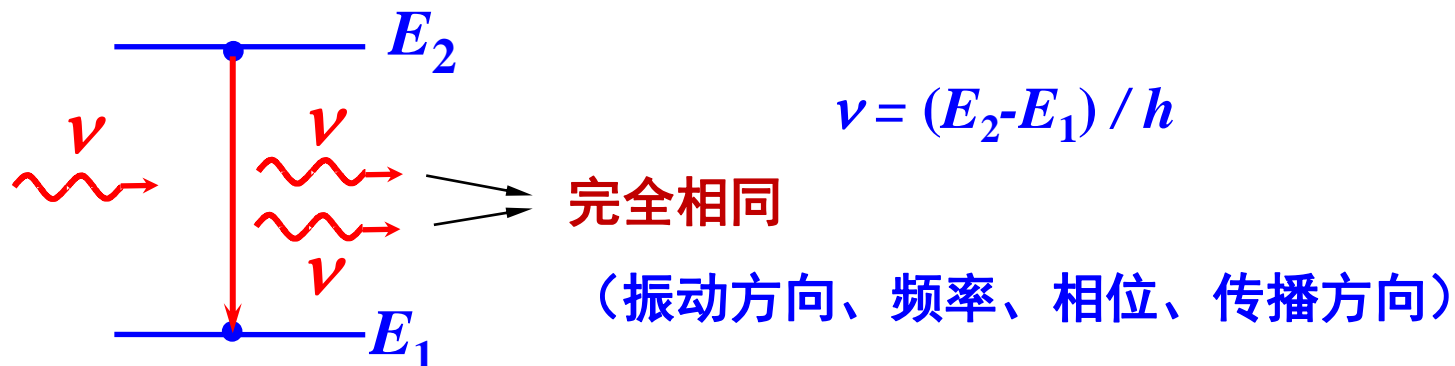


### II 普通光源发光

- 在 $\Delta t$ 时间内所有发光粒子发光波列的叠加，合成波频率单一且有确定初相位；
- 长时间内，点光源发出的光波其初相位频繁变化；
- 两个独立的点光源或同一光源不同部位发出的光波，没有恒定相位差，不相干。



## (2) 激光光源：受激辐射



□ 普通光源发出的光是非相干光，本章讨论普通光源的干涉问题



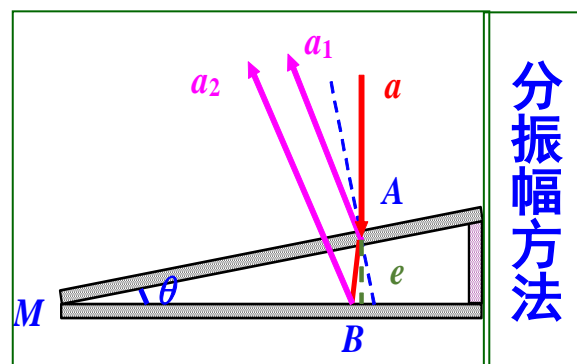
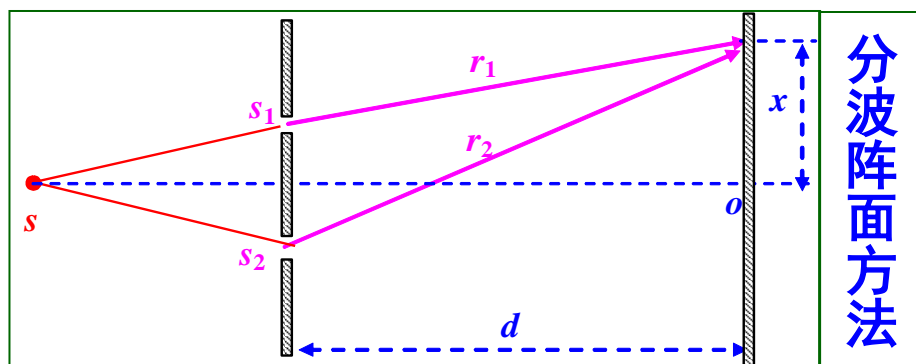
### 3. 相干光源及获取方法

#### A 相干光源

频率相同、偏振方向相同、相位差恒定的光源

#### B 相干光源获取方法

- 普通光源: 分光束



分波阵面法: 利用小微元光源发光近似满足相干条件

杨氏双缝干涉

分振幅方法: 利用光源发出的同一光束满足相干条件

薄膜干涉

- 激光

## 13.1.2 光的干涉解析分析

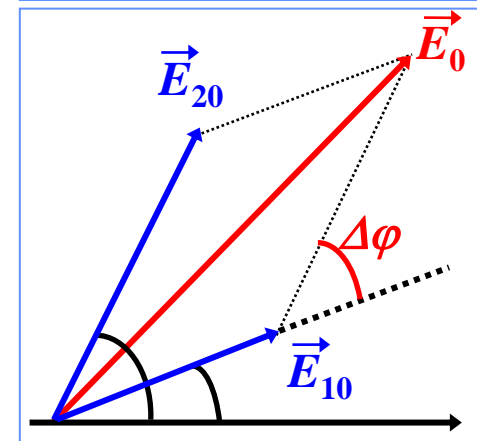
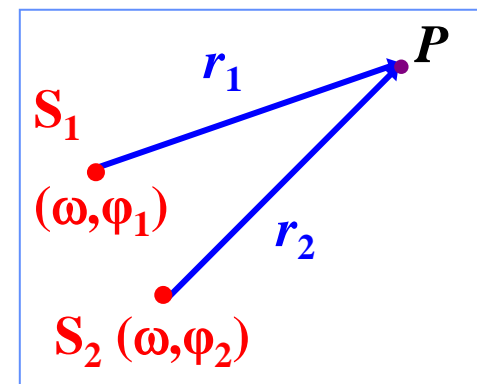
### 1. 光波叠加原理

- 各列波相遇后保持各自原有的特点、**独立**继续传播
- 在各列波相遇的区域，各点的振动为各列波在该点引起振动的叠加

设两列振动方向相同的光波在**P**点相遇：

$$\left. \begin{aligned} S_1 \rightarrow P: \quad E_1 &= E_{10} \cos\left(\omega t - \frac{2\pi r_1}{\lambda_1} + \varphi_1\right) \\ S_2 \rightarrow P: \quad E_2 &= E_{20} \cos\left(\omega t - \frac{2\pi r_2}{\lambda_2} + \varphi_2\right) \end{aligned} \right\} \Rightarrow$$

$$\text{合成光} \left\{ \begin{aligned} \vec{E} &= \vec{E}_1 + \vec{E}_2 = E_0 \cos(\omega t + \varphi) \\ E_0 &= \sqrt{E_{10}^2 + E_{20}^2 + 2E_{10}E_{20} \cos \Delta\varphi} \\ \Delta\varphi &= (\varphi_2 - \varphi_1) - \left(\frac{2\pi}{\lambda_2} r_2 - \frac{2\pi}{\lambda_1} r_1\right) \end{aligned} \right.$$



## 2 合成光强:

$$\begin{aligned}
 I = \overline{S} &= \sqrt{\frac{\varepsilon}{\mu}} \overline{E_0^2} = \alpha \overline{E_0^2} \\
 &= \alpha \cdot \frac{1}{\tau} \int_0^\tau (E_{10}^2 + E_{20}^2 + 2E_{10}E_{20} \cos \Delta\varphi) dt \\
 &= I_1 + I_2 + \boxed{2\sqrt{I_1 I_2} \overline{\cos \Delta\varphi}} \quad \text{干涉项}
 \end{aligned}$$

## A 非相干叠加

**普通光源:** 原子发光是随机、间歇、独立的, 由两个独立光源或从同一光源不同部分发出光的频率、相位及振动方向都可能不同。

**干涉项:**

在观测时间内 $\Delta\varphi$ 可取 $0 \sim 2\pi$ 间的一切可能值, 且机会均等

$$\overline{\cos \Delta\varphi} = 0 \quad \Rightarrow \quad 2\sqrt{I_1 I_2} \overline{\cos \Delta\varphi} = 0$$

$$I = I_1 + I_2$$

光强均匀分布

## B 相干叠加

**相干光：** 满足相差恒定、振动频率相同、振动方向相同的光

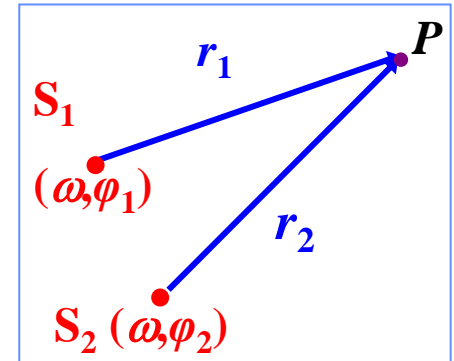
**干涉项：**  $\Delta\varphi = (\varphi_2 - \varphi_1) - \frac{2\pi}{\lambda}(r_2 - r_1)$

与时间无关，只与 $P$ 点的位置有关

$$\overline{\cos \Delta\varphi} = \cos \Delta\varphi \neq 0$$

$$I = I_1 + I_2 + 2\sqrt{I_1 I_2} \cos \Delta\varphi$$

- 空间确定点，  $\Delta\varphi$  有确定值，  $I$  有确定值
- 空间不同点，  $\Delta\varphi$  可能不同，  $I$  彼此不等



**干涉现象：** 光强在空间有一新的稳定的非均匀分布

## C 光强度稳定空间分布的典型结论

## I 相长干涉

$$\Delta\varphi = (\varphi_2 - \varphi_1) - \frac{2\pi}{\lambda}(r_2 - r_1) = \pm 2k\pi \quad k = 0, 1, 2, \dots$$

$$I_{\max} = I_1 + I_2 + 2\sqrt{I_1 I_2} \quad \text{亮纹}$$

## II 相消干涉

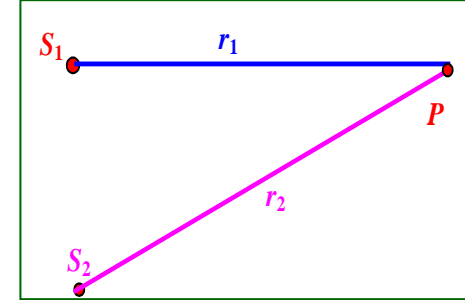
$$\Delta\varphi = (\varphi_2 - \varphi_1) - \frac{2\pi}{\lambda}(r_2 - r_1) = \pm(2k + 1)\pi \quad k = 0, 1, 2, \dots$$

$$I_{\min} = I_1 + I_2 - 2\sqrt{I_1 I_2} \quad \text{暗纹}$$

特例：如果  $I_1 = I_2$ ，则合成光强

$$\text{相长处: } I_{\max} = I_1 + I_2 + 2\sqrt{I_1 I_2} = 4I_1$$

$$\text{相消处: } I_{\min} = I_1 + I_2 - 2\sqrt{I_1 I_2} = 0$$

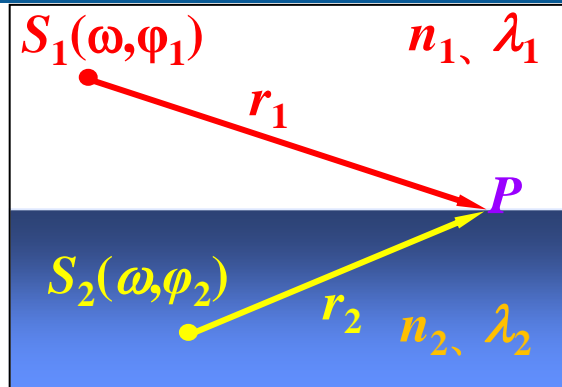


## 13.1.3 光程与相位差

光的频率 $\nu$ 由光源确定，光速 $v$ 和介质折射率 $n$ 相关。

真空中光速： $c = \nu\lambda$

介质中光速： $v = \frac{c}{n} = \nu\left(\frac{\lambda}{n}\right)$  }  $\Rightarrow$  折射率为 $n$ 介质中： $\lambda' = \frac{\lambda}{n}$



( $n_1$ 、 $n_2$ 为介质的折射率)

相干光源 $S_1$ 和 $S_2$ 发出的光在不同介质中传至 $P$ 点，两列光波振动的相位差：

$$\Delta\varphi = (\varphi_2 - \frac{2\pi}{\lambda_2}r_2) - (\varphi_1 - \frac{2\pi}{\lambda_1}r_1)$$

介质中： $\lambda_1 = \frac{\lambda}{n_1}, \lambda_2 = \frac{\lambda}{n_2}$  }  $\Rightarrow \Delta\varphi = (\varphi_2 - \varphi_1) - \frac{2\pi}{\lambda}(n_2r_2 - n_1r_1)$

光波在介质 $n$ 中传播路程 $r$ 的相位变化

光在真空中传播距离 $nr$ 对应的相位变化

$$\frac{2\pi}{\lambda'}r = \frac{2\pi}{\lambda}nr$$

- 光在介质中传播几何路程，可等效为光在真空中的几何路程（光程）

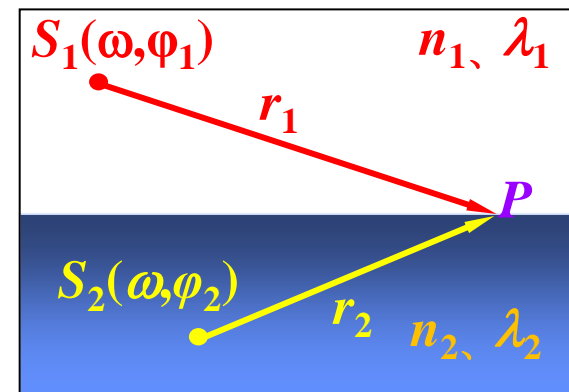
光程 = 介质折射率 $n \times$  光在介质中的几何路程 $r$

（等效真空程）

$$S_1 \rightarrow P: \text{光程} = n_1 r_1$$

$$S_2 \rightarrow P: \text{光程} = n_2 r_2$$

$$\text{光程差: } \delta = n_2 r_2 - n_1 r_1$$



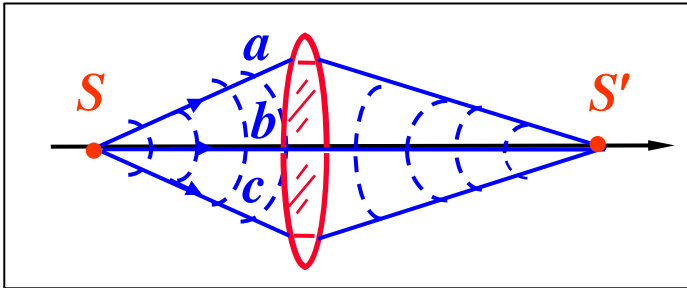
#### IV 光程差与波的干涉

$$\left. \begin{aligned} \Delta\varphi &= (\varphi_2 - \varphi_1) - \frac{2\pi}{\lambda} (n_2 r_2 - n_1 r_1) \\ \varphi_1 &= \varphi_2 \end{aligned} \right\} \Rightarrow \Delta\varphi = -\frac{2\pi}{\lambda} (n_2 r_2 - n_1 r_1) = -\frac{2\pi}{\lambda} \delta$$

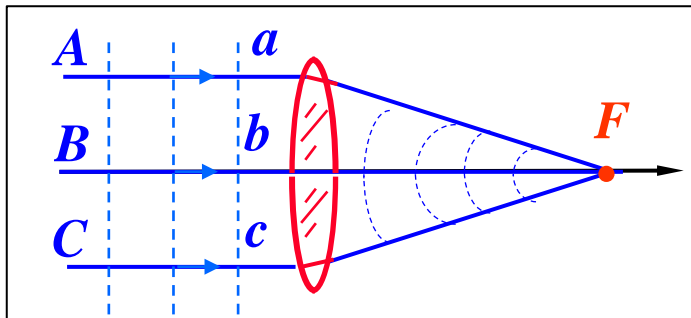
$$\text{光程差: } \begin{cases} \delta = n_2 r_2 - n_1 r_1 = k\lambda & k = 0, \pm 1, \pm 2, \dots & \text{干涉相长, 亮纹} \\ \delta = n_2 r_2 - n_1 r_1 = (2k + 1)\frac{\lambda}{2} & k = 0, \pm 1, \pm 2, \dots & \text{干涉相消, 暗纹} \end{cases}$$

- 对相干光源，初相相等或恒定，干涉明暗条纹变化取决于光程差变化
- 干涉问题的光强空间分布计算取决于光程差的计算

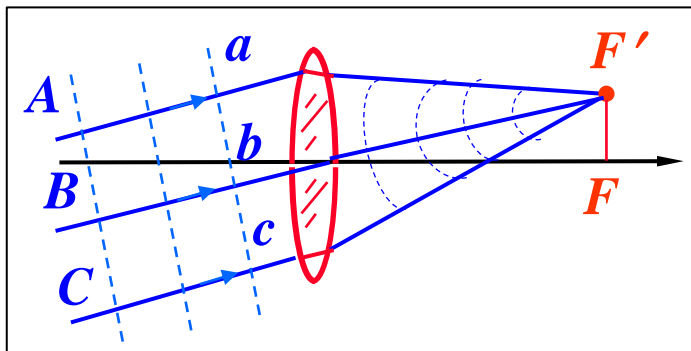
### 13.1.4 薄透镜的等光程性



物点S到象点S' (亮点)各光线之间的光程差为零。



焦点  $F$ 、 $F'$  都是亮点，说明各光线在此同相叠加。



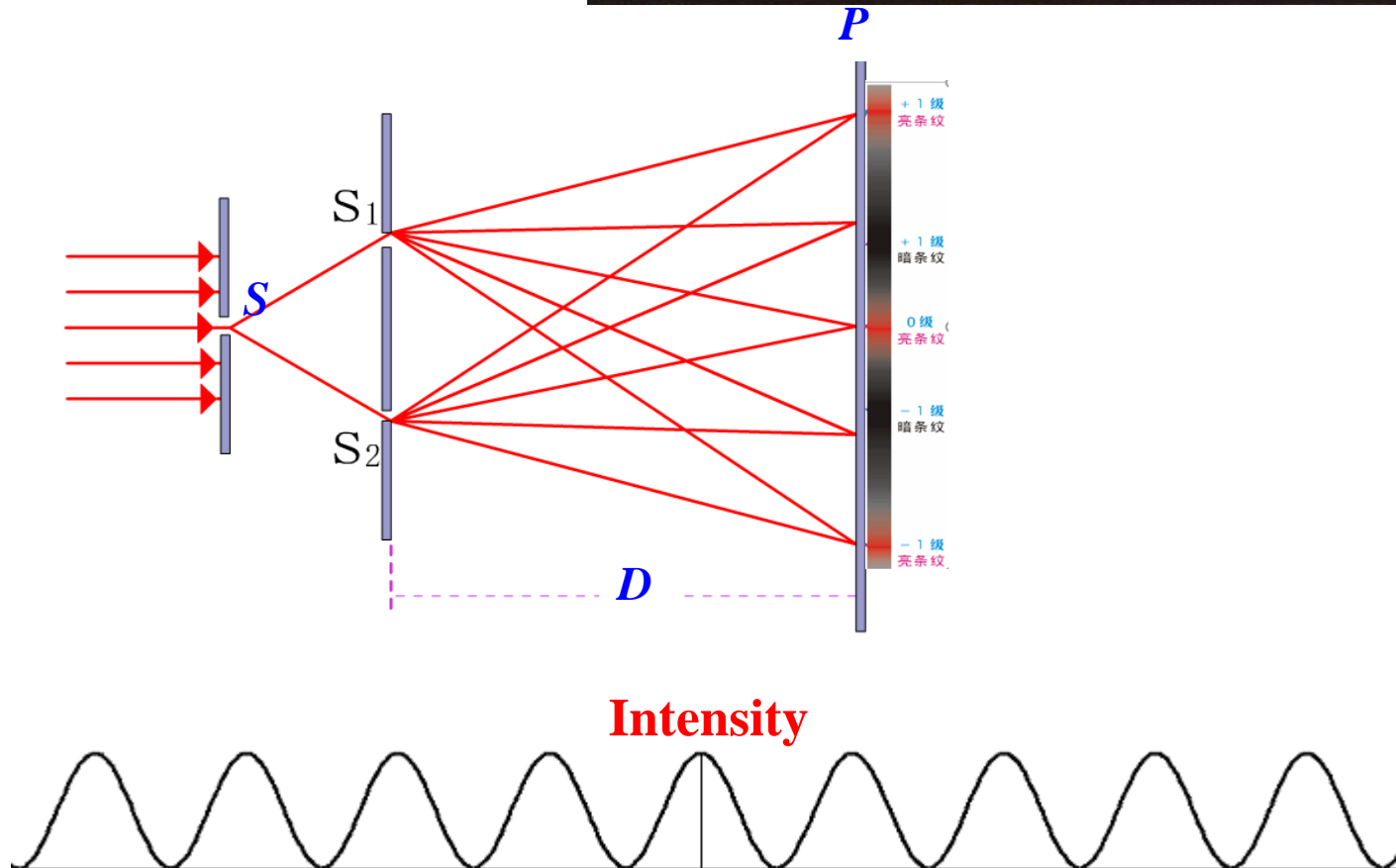
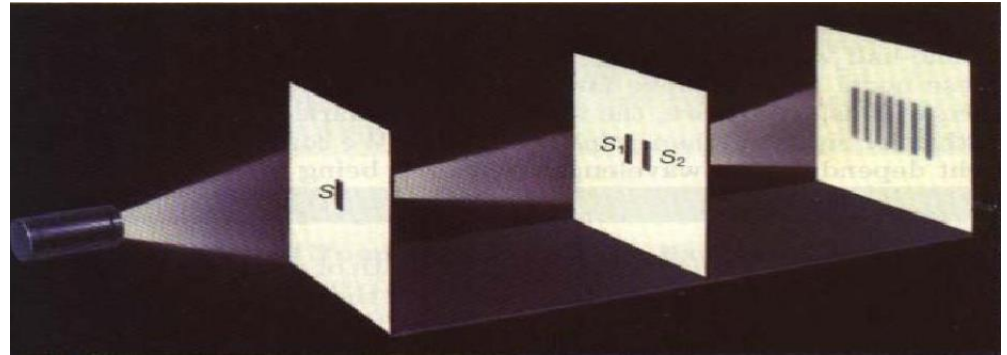
$A$ 、 $B$ 、 $C$  在同相面上，说明  $A \rightarrow F$ ， $B \rightarrow F$ ， $C \rightarrow F$  或  $A \rightarrow F'$ ， $B \rightarrow F'$ ， $C \rightarrow F'$  各光线等光程。

**结论：**近轴光线经薄透镜可改变方向但不会产生附加光程差。



## 13.2 杨氏双缝干涉实验

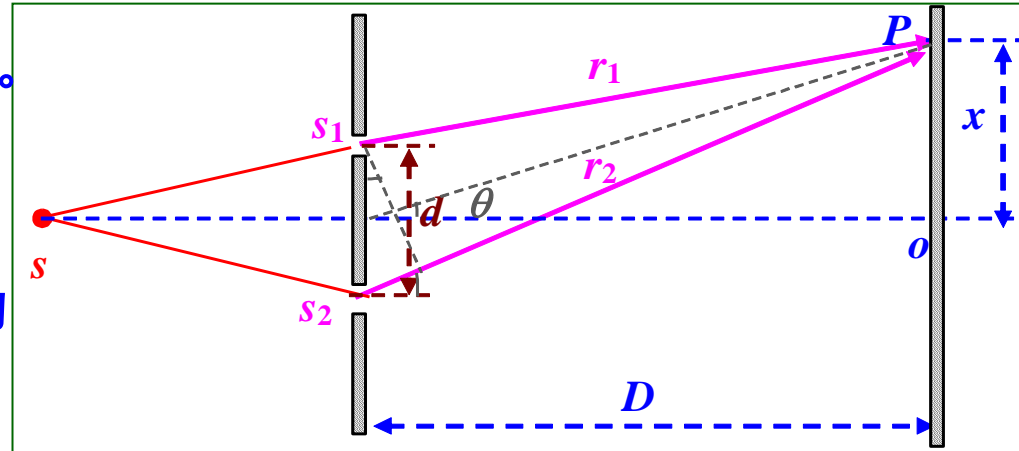
### 1. 实验装置与实验现象



$S_1$ 和 $S_2$ 是一对初相相等的相干光源。

## 2. 相位差计算

在观测屏上任一点 $P$ ，两个光振动的相位差



$$\left. \begin{aligned} \Delta\varphi &= (\varphi_2 - \varphi_1) - \frac{2\pi}{\lambda}(r_2 - r_1) \\ \varphi_1 &= \varphi_2 \end{aligned} \right\} \Rightarrow \Delta\varphi = -\frac{2\pi}{\lambda}(r_2 - r_1) = -\frac{2\pi}{\lambda}\delta$$

$$\left. \begin{aligned} r_1^2 &= D^2 + \left(x - \frac{d}{2}\right)^2 \\ r_2^2 &= D^2 + \left(x + \frac{d}{2}\right)^2 \end{aligned} \right\} \Rightarrow r_2^2 - r_1^2 = 2dx$$

$$\left. \begin{aligned} r_2^2 - r_1^2 &= (r_2 - r_1)(r_2 + r_1) = \delta(r_2 + r_1) \\ D \gg d \quad r_1 + r_2 &\approx 2D \end{aligned} \right\} \Rightarrow \begin{aligned} \delta &= \frac{dx}{D} \\ \Delta\varphi &= -\frac{2\pi d}{\lambda D}x \end{aligned}$$

$$\delta \approx d \sin \theta \approx d \tan \theta = \frac{dx}{D} \quad (\text{教材})$$

### 3. 明暗条纹空间位置计算

A 出现明条纹的条件

条纹位置

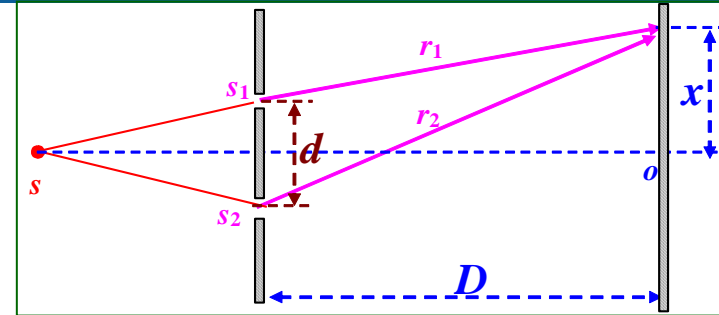
$$\delta = \frac{dx}{D} = \pm k\lambda \quad \Rightarrow \quad x = \pm k \frac{D}{d} \lambda$$

$$k = 0, 1, 2, \dots$$

$k$  为干涉条纹的级次

B 出现暗条纹的条件

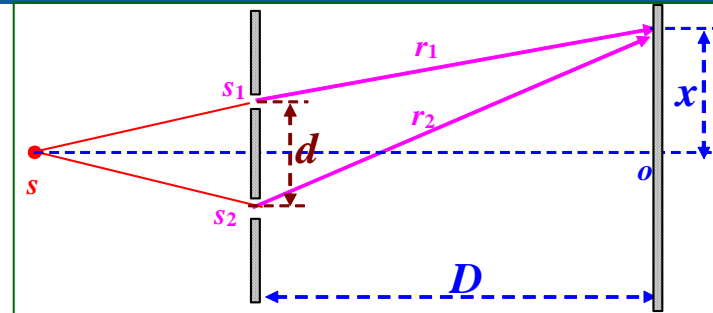
$$\delta = \frac{dx}{D} = \pm (2k + 1) \frac{\lambda}{2} \quad \Rightarrow \quad x = \pm (k + \frac{1}{2}) \frac{D}{d} \lambda \quad k = 0, 1, 2, \dots$$



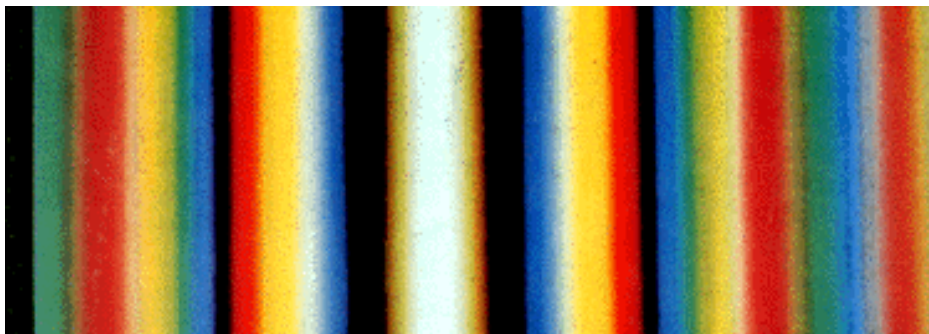
- 观察屏上是一系列平行于双缝的明暗相间的直线条纹
- 中心为明条纹，条纹中间级次低，两边级次高；
- 条纹上下对称，明暗相间，均匀排列
- 如果是点光源，则强度减弱

## C 明、暗条纹的间距

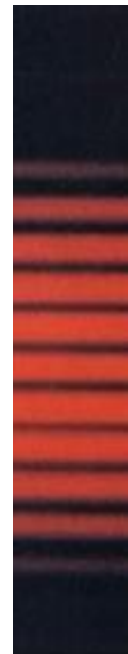
$$\Delta x = x_{k+1} - x_k = \frac{D}{d} \lambda$$



- 明暗条纹的间距与  $k$  无关，间距相等
- 若移动观察屏（ $D$ 变化），则条纹间距变化
- 若改变缝间距（ $d$ 变化），则条纹间距发生变化
- 条纹间距与波长成正比



白光光源，中心是白色亮纹，外面是彩色亮纹

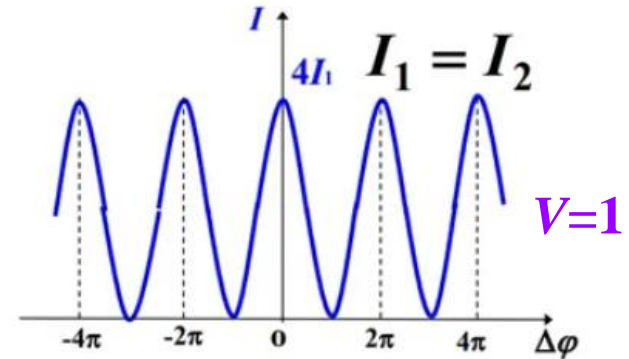


## 4. 光的强度分布

$$I = I_1 + I_2 + 2\sqrt{I_1 I_2} \cos \Delta\varphi$$

当  $I_1 = I_2$        $I_{\max} = 4I_1$        $I_{\min} = 0$

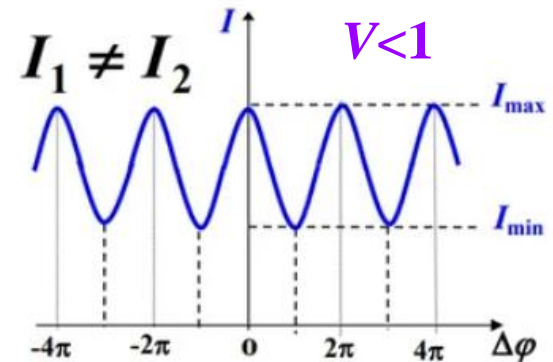
当  $I_1 \neq I_2$        $I_{\max} = I_1 + I_2 + 2\sqrt{I_1 I_2}$        $I_{\min} = I_1 + I_2 - 2\sqrt{I_1 I_2}$



条纹可见度（衬比度）：

光强分布条纹的明显程度用对比度表示，即：

$$V = \frac{I_{\max} - I_{\min}}{I_{\max} + I_{\min}}$$



条纹清晰的条件之一：

两相干光强相差不要太大， $I_1=I_2(V=1)$ 时条纹最清晰

**例13.2.1:** 已知白光的波长范围是  $4000 \text{ \AA} \sim 7000 \text{ \AA}$ , 用白光做杨氏干涉

实验, 实验的双缝间距为  $d=0.5\text{mm}$ , 屏幕距缝  $D=5 \text{ m}$

**求:** 与屏幕中心  $x=21 \text{ mm}$  处形成亮纹的可见光波波长

**解:** 明暗条纹空间分布与波长有关, 由形成亮条纹的条件

$$x = \pm k \frac{D}{d} \lambda \quad k = 0, 1, 2, \dots$$

$$\lambda = \frac{dx}{kD} = \frac{0.5 \times 10^{-3} \times 21 \times 10^{-3}}{5k} \quad \left\{ \begin{array}{l} k = 3 \\ k = 4 \\ k = 5 \end{array} \right. \Rightarrow \left\{ \begin{array}{l} \lambda_3 = 7.0 \times 10^3 \text{ \AA} \\ \lambda_4 = 5.25 \times 10^3 \text{ \AA} \\ \lambda_5 = 4.20 \times 10^3 \text{ \AA} \end{array} \right.$$

$k = 0, 1, 2, \dots$

例13.2.2：杨氏双缝干涉光路中放入一个小盒，通过测量小盒填充气体前后干涉条纹的移动，可测气体折射率

求：(1) 当待测气体的折射率大于空气折射率时，干涉条纹如何移动？

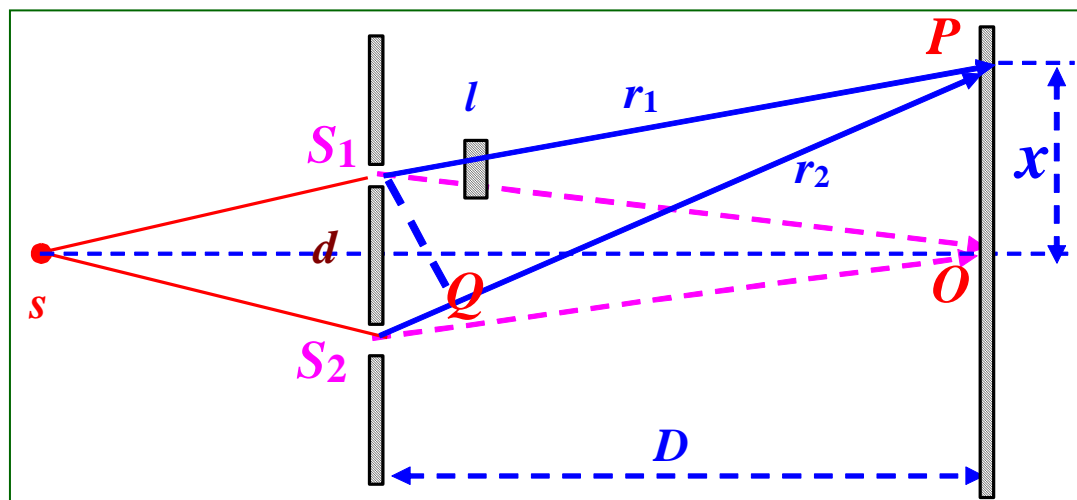
(2) 设  $l=2.0\text{ cm}$ ，某点条纹移动 20 条，光波的波长为  $5893\text{ Å}$ ，空气的折射率为  $n=1.000276$ ，求待测气体的折射率

解：(1) 判断零级条纹的移动方向。设充入空气，零级条纹在  $O$  点；充入待测气体，零级条纹在  $P$  点

$$\delta = S_2Q - (n' - n)l$$

零级条纹出现条件

$$\delta = \pm k\lambda = 0$$



$$\Rightarrow s_2 q = (n' - n)l > 0$$

于是，零级条纹 (因而所有条纹) 应当上移

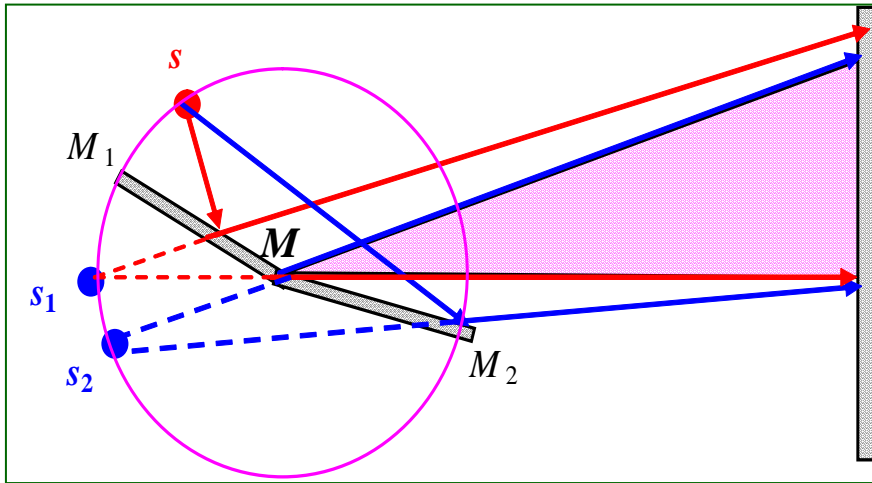
(2) 对屏幕上的一固定点，通过该点的条纹每移动一级，光程差相差一个波长

$$\left. \begin{array}{l} \delta = \pm k\lambda \Rightarrow \Delta\delta = \pm\Delta k\lambda \\ \Delta\delta = (n' - n)l \end{array} \right\} \Rightarrow \Delta k = \frac{(n' - n)l}{\lambda} \Rightarrow n' = n + \frac{\Delta k \cdot \lambda}{l} = 1.0008653$$

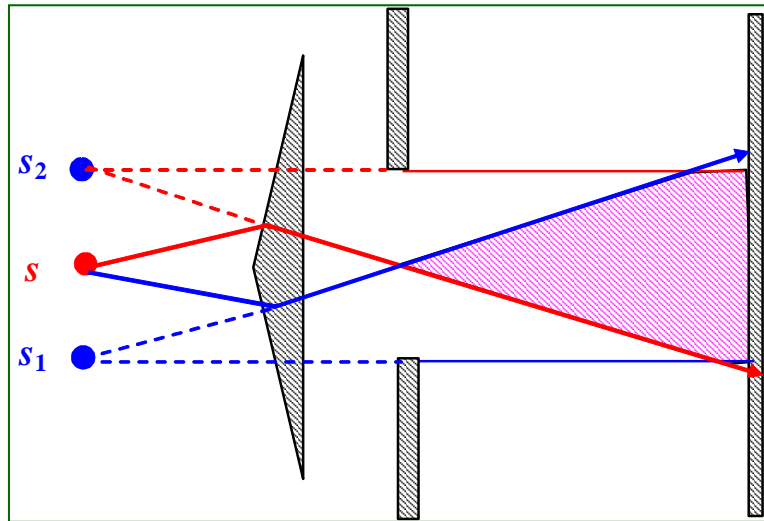
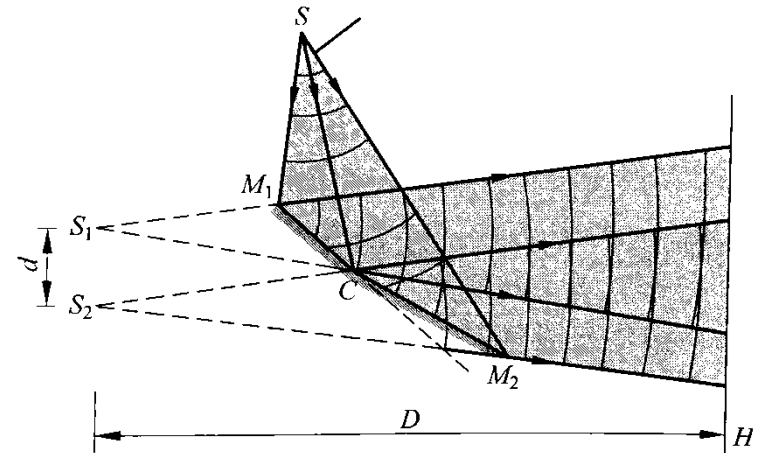


## 5. 双缝干涉的其它实验装置

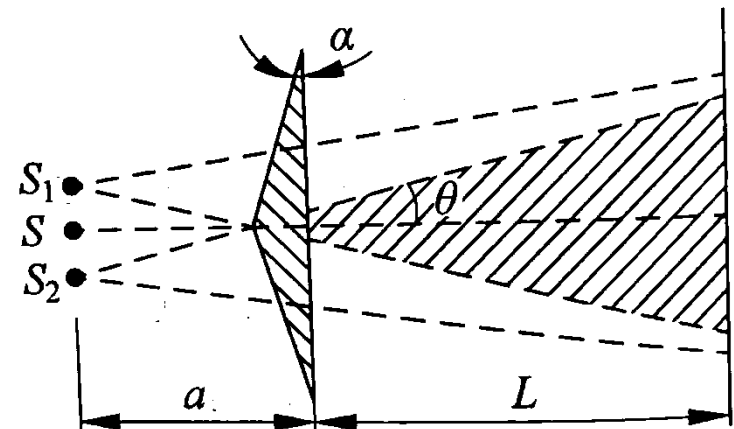
- 各干涉仪相干光获取方法
- 各干涉仪明暗条纹计算方法



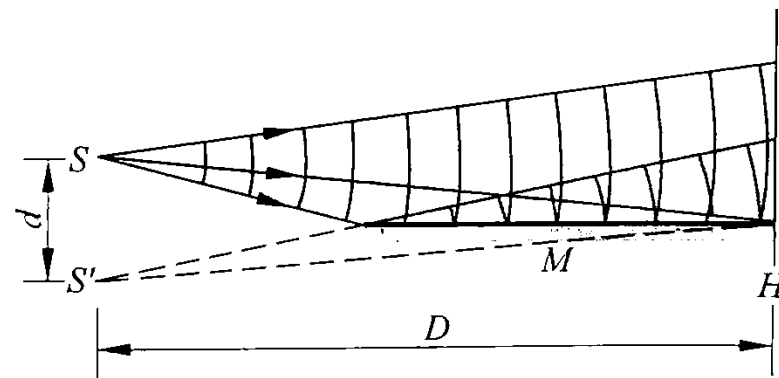
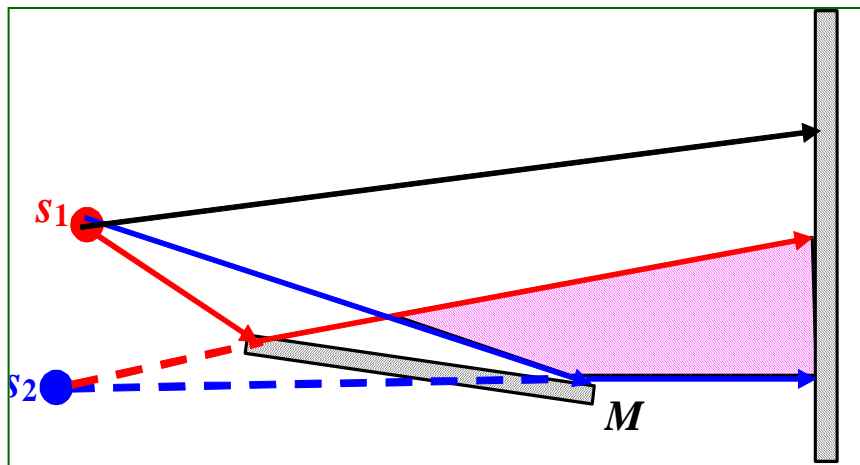
菲涅尔双面镜



菲涅尔双棱镜



## 洛埃镜干涉



实验发现，屏上的明暗纹恰好与杨氏双缝相反。当屏移到镜边缘 $M$ 时， $M$ 处出现暗条纹

——光在镜子表面反射时出现了相位 $\pi$ 的突变(半波损失)

$$\delta = \frac{dx}{D} + \frac{\lambda}{2} \quad \delta = \pm k\lambda \quad \text{明纹}$$

$$\delta = \pm(k + \frac{1}{2})\lambda \quad \text{暗纹}$$

## 6. 干涉问题分析的要点

- (1) 确认是哪两束（或几束）光在干涉；
- (2) 计算相干光在叠加点的光程差或相位差；
- (3) 分析干涉条纹的特点：

静态特点：条纹形状、位置、级次分布、间距等几何特点；

条纹变化的特点、条纹的光强分布特点，条纹清晰度等。

## 13.3 薄膜干涉

### 13.3.1 薄膜干涉一般性讨论



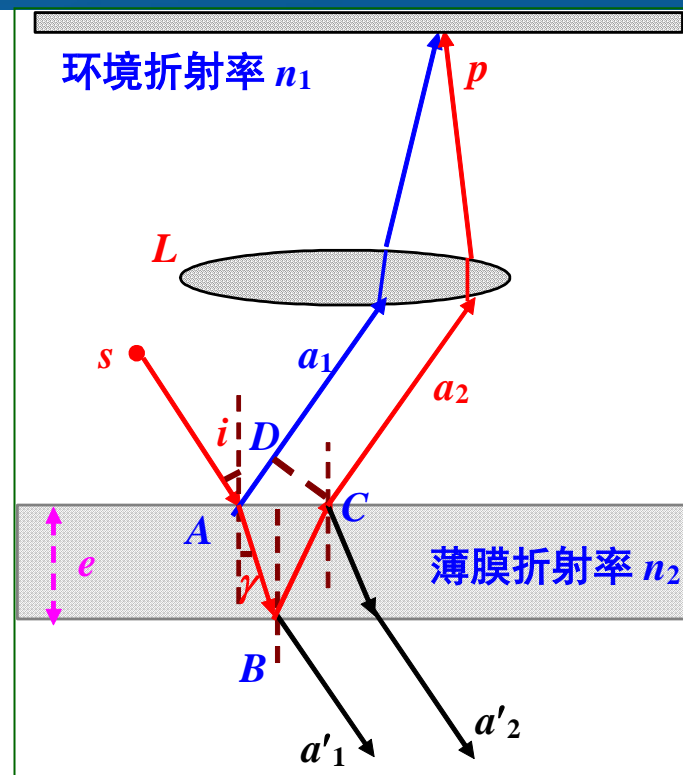
## 1. 薄膜干涉的光程差计算

设环境折射率小于介质薄膜折射率  $n_1 < n_2$

单色光源  $s$ ，上下表面反射光为相干光

光线  $a_1$  在  $A$  点反射时存在半波损失

光线  $a_1$ 、 $a_2$  分别从  $C$ 、 $D$  到  $p$  点等光程



$$\delta = n_2(AB + BC) - n_1AD + \frac{\lambda}{2}$$

$$AB = BC = \frac{e}{\cos \gamma}$$

$$AD = AC \sin i = 2e \cdot \tan \gamma \cdot \sin i$$

$$\frac{\sin i}{\sin \gamma} = \frac{n_2}{n_1} \Rightarrow n_1 \sin i = n_2 \sin \gamma$$

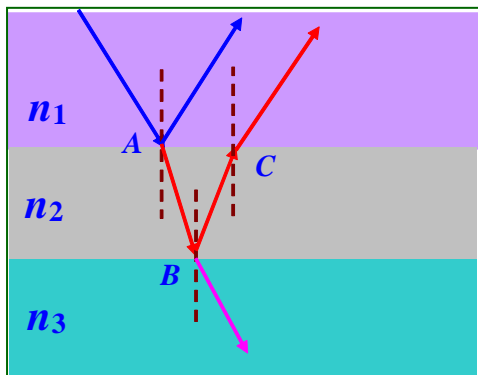
$$\Rightarrow \delta = 2e \sqrt{n_2^2 - n_1^2 \sin^2 i} + \frac{\lambda}{2}$$

## 2. 明暗条纹条件

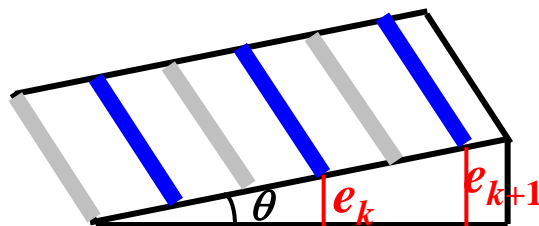
$$\delta = 2e\sqrt{n_2^2 - n_1^2 \sin^2 i} + \frac{\lambda}{2} \Rightarrow \begin{cases} \delta = k\lambda & k = 1, 2, 3, \dots \quad \text{明条纹} \\ \delta = (2k + 1)\frac{\lambda}{2} & k = 0, 1, 2, \dots \quad \text{暗条纹} \end{cases}$$

## 3. 关于薄膜干涉的课堂讨论

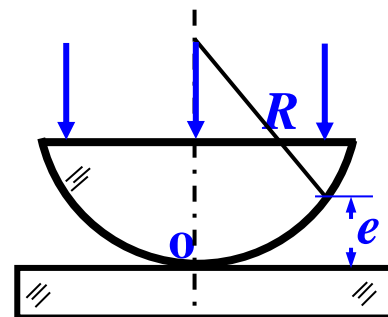
- 讨论多层膜的薄膜干涉问题中的半波损失问题
- 考察薄膜干涉明暗条纹计算公式，讨论等倾干涉、等厚干涉问题



等倾干涉



等厚干涉



I 如果薄膜两侧介质的折射率不同，反射光 $a_1$ 与 $a_2$ 光程差：

(1)  $n_1 < n_2 > n_3$  或  $n_1 > n_2 < n_3$  有附加光程差 $\lambda/2$ ！

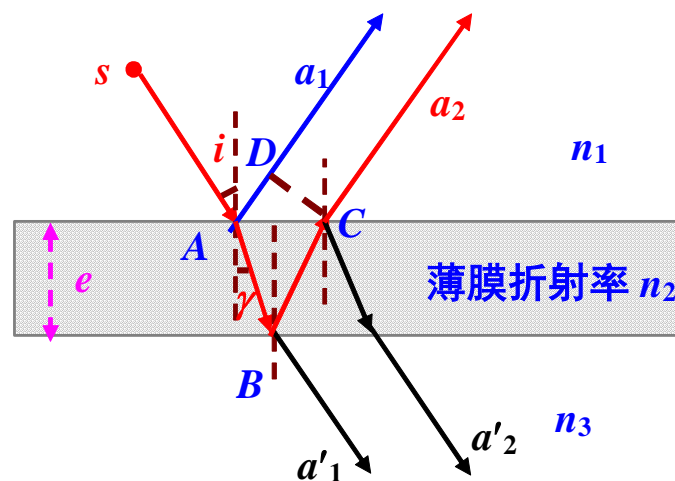
$$\delta = 2e\sqrt{n_2^2 - n_1^2 \cdot \sin^2 i} + \lambda / 2$$

(2)  $n_1 < n_2 < n_3$  或  $n_1 > n_2 > n_3$  无附加光程差！

$$\delta = 2e\sqrt{n_2^2 - n_1^2 \cdot \sin^2 i}$$

故反射光 $a_1$ 与 $a_2$ 光程差：

$$\delta = 2e\sqrt{n_2^2 - n_1^2 \cdot \sin^2 i} + \begin{cases} \lambda / 2 & (1) \\ 0 & (2) \end{cases}$$



## II 薄膜干涉的两种情况：

$$\delta = 2e\sqrt{n_2^2 - n_1^2 \cdot \sin^2 i} + \begin{cases} \lambda/2 \\ 0 \end{cases}$$

## (1) 薄膜厚度均匀——等倾干涉

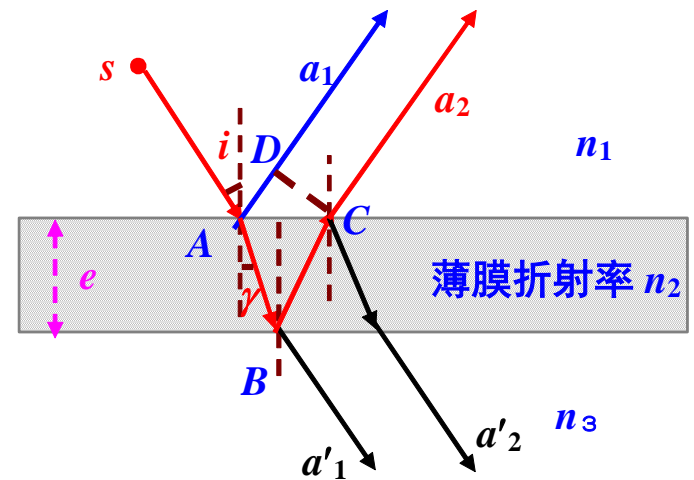
$$\delta = \delta(i)$$

倾角*i*相同的光线对应同一条干涉条纹 ——等倾条纹

(2) 薄膜厚度不均匀，平行光入射即*i*相同——等厚干涉

$$\delta = \delta(e)$$

同一厚度*e*对应同一级条纹 ——等厚条纹（劈尖、牛顿环）

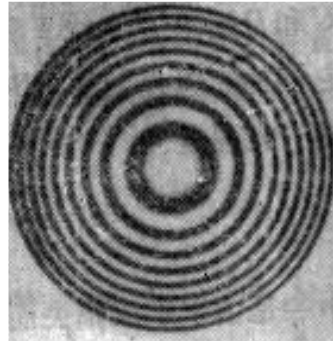




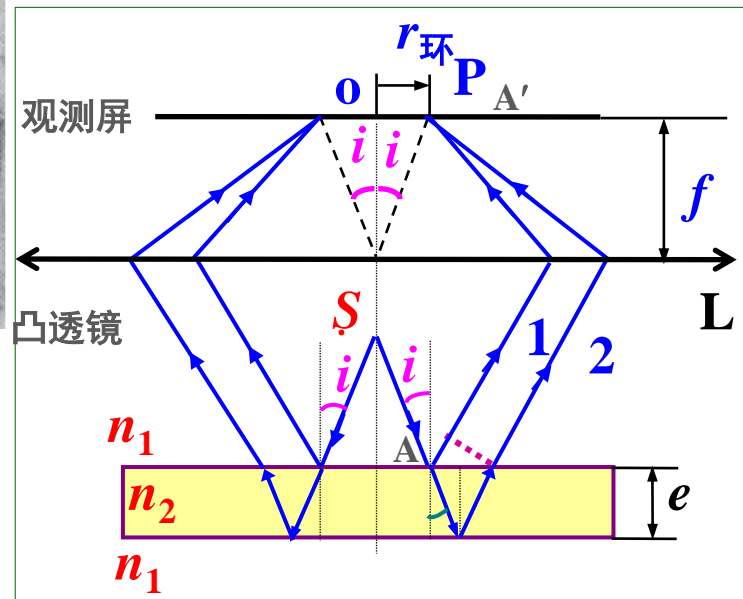
### 13.3.2 等倾干涉

$$\delta = 2e\sqrt{n_2^2 - n_1^2 \sin^2 i} + \frac{\lambda}{2}$$

$$\Rightarrow \begin{cases} \delta = k\lambda & \text{明条纹} \\ \delta = (2k+1)\frac{\lambda}{2} & \text{暗条纹} \end{cases}$$



$$r_k = f \cdot \tan i$$

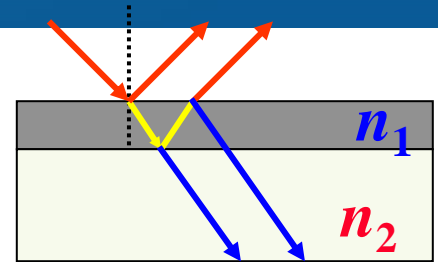


- 等倾干涉的条纹图样是同心圆，条纹间隔内疏外密。
- 圆环中心( $i=0$ )处， $\delta$ 最大，条纹次最高；从中心向外，亮(暗)纹的级次减小。
- 中心亮暗取决于膜厚，当膜厚增加，更多条纹从中间冒出，条纹变密
- 当波长增加，条纹往中心收缩
- 透射光与反射光相差半个波长
- 讨论增透膜、反射膜、干涉过滤片设计方案

## 1.增透膜和高反射膜

### (1)增透膜

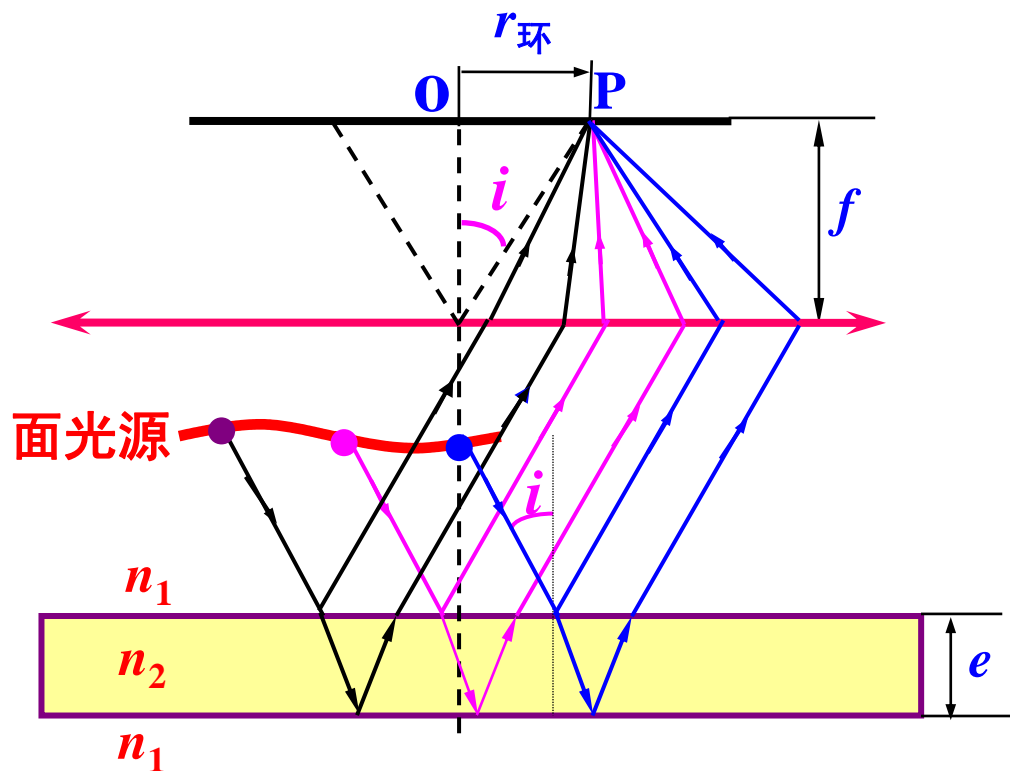
- 膜的厚度适当时，可使某种波长的反射光因干涉而减弱，则该波长在对应方向的透射光一定干涉而加强。
- 如照相机、摄像机等的镜头上镀一层厚度均匀的透明薄膜。



### (2)增反膜(高反射膜)

- 膜的厚度适当时，能使某些波长的反射光因为干涉而增强，从而使该波长的光更多地反射。
- 如He-Ne激光器要求反射99%，这时可在元件表面多层镀膜以增强反射，这类薄膜称为增反膜或高反射膜。

## 讨论：面光源照明时，干涉条纹的分析



面光源

- 每个点光源形成的同级条纹半径完全相同，即干涉图样完全重合无错位；
- 各图样非相干叠加，使明条纹亮度增加；
- 对于观察等倾条纹，没有光源宽度和条纹衬比度的矛盾！

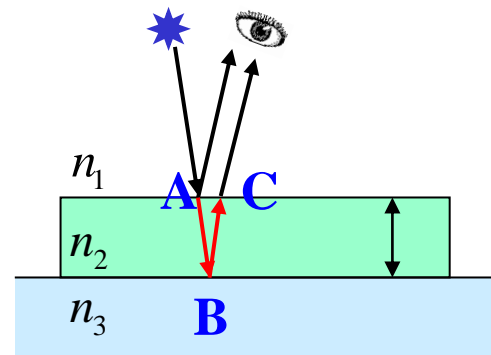
**例13.3.1:** 为减少反射引起的光能损失, 在光学仪器(如照相机、摄像机等)

的镜头上镀一层厚度均匀的透明薄膜(常用 $\text{MgF}_2$ ,  $n_2=1.38$ ), 空气的折

射率为  $n_1=1$ , 照相机镜头玻璃折射率  $n_3=1.5$

**求:** 欲使  $\lambda=5500\text{\AA}$  增透, 膜的厚度至少为多少?

**解:** 增透膜在镀膜两表面的反射光发生相消干涉



$$\delta = 2e\sqrt{n_2^2 - n_1^2 \sin^2 i} = (2k + 1)\frac{\lambda}{2} \quad k = 0, 1, 2, \dots$$

照相时光线一般垂直入射( $\theta=0$ ), 且当  $n_1 < n_2 < n_3$  时, 不计算半波损失

$$\delta = 2n_2e = (2k + 1)\frac{\lambda}{2}$$

要求最小厚度, 取  $k$  的最小值  $k=0$

$$e = \frac{\lambda}{4n_2} = 996.4 \text{ \AA}$$



镀膜时常采用 $k=1$ 时所对应的光学厚度:

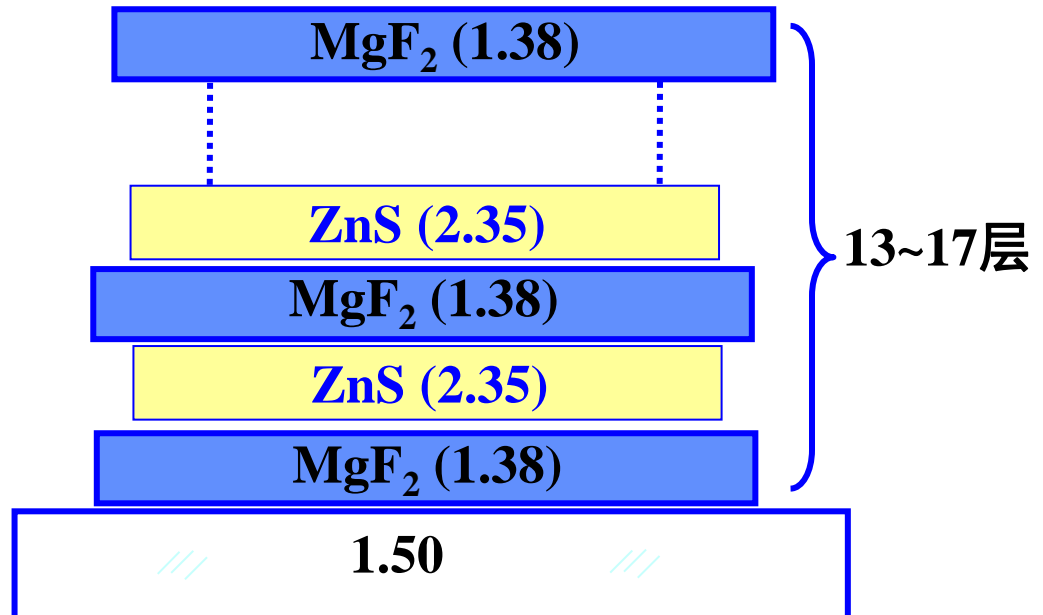
$$\delta = 2n_2e = (2k + 1)\frac{\lambda}{2} = \frac{3}{2} \times 5500 \text{ \AA}$$



反射光加强的条件是:

$$\delta = 2n_2e = \frac{3}{2} \times 5500 = k\lambda \quad \text{只有 } k=2, \lambda=4100\text{\AA} \text{ 紫色}$$

增反膜或高反射膜:



例13.3.2：一平板玻璃 ( $n_3=1.50$ ) 上有一层透明油膜 ( $n_2=1.25$ ),

求：要使波长 $\lambda=6000\text{\AA}$ 的光垂直入射无反射，薄膜的最小膜厚 $e=?$

解：先求出两反射光线的光程差： $n_1 < n_2 < n_3$  不计算半波损失

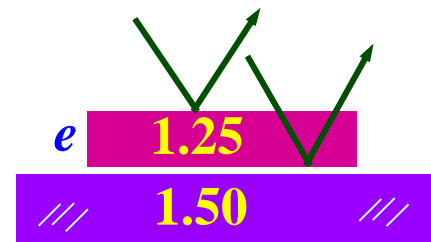
$$\delta_{\text{反}} = 2e\sqrt{n_2^2 - n_1^2 \sin^2 i} = 2en_2$$

无反射意味着反射光出现暗纹，所以

$$\delta_{\text{反}} = 2en_2 = (k + \frac{1}{2})\lambda \quad (k = 0, 1, 2, \dots)$$

薄膜的折射率 $n_2=1.25$ ； $e$ 最小的条件是 $k=0$

$$\therefore e = \frac{\lambda}{4n_2} = 1200\text{\AA} = 1.2 \times 10^{-7}\text{m}$$



例13.3.3：阳光垂直照射在空气中的肥皂膜上，膜厚 $e=3800\text{\AA}$ ，折射率 $n_2=1.33$

求：肥皂膜的正面和背面各呈什么颜色？

解：(1)正面反射加强  $n_1 < n_2 > n_1$  计算半波损失

$$\delta_{\text{反}} = 2en_2 + \frac{\lambda}{2} = k\lambda$$

$$\therefore \lambda = \frac{2en_2}{k - \frac{1}{2}} = \frac{7600\text{\AA} \times 1.33}{k - \frac{1}{2}}$$

在可见光范围内 ( $7700\text{\AA} \sim 3900\text{\AA}$ ) 的解为

$$k=1, \dots$$

$$k=2, \lambda=6739 \text{\AA} \quad \text{红色}$$

$$k=3, \lambda=4043 \text{\AA} \quad \text{紫色}$$

$$k=4, \dots$$



(2)背面透射加强意味着反射减弱,有

$$\delta_{\text{反}} = 2en_2 + \frac{\lambda}{2} = (k + \frac{1}{2})\lambda$$

$$\lambda = \frac{2en_2}{k} = \frac{7600\text{\AA} \times 1.33}{k}$$

在可见光范围内(7700Å~3900Å)的解为

$$k=1, \dots$$

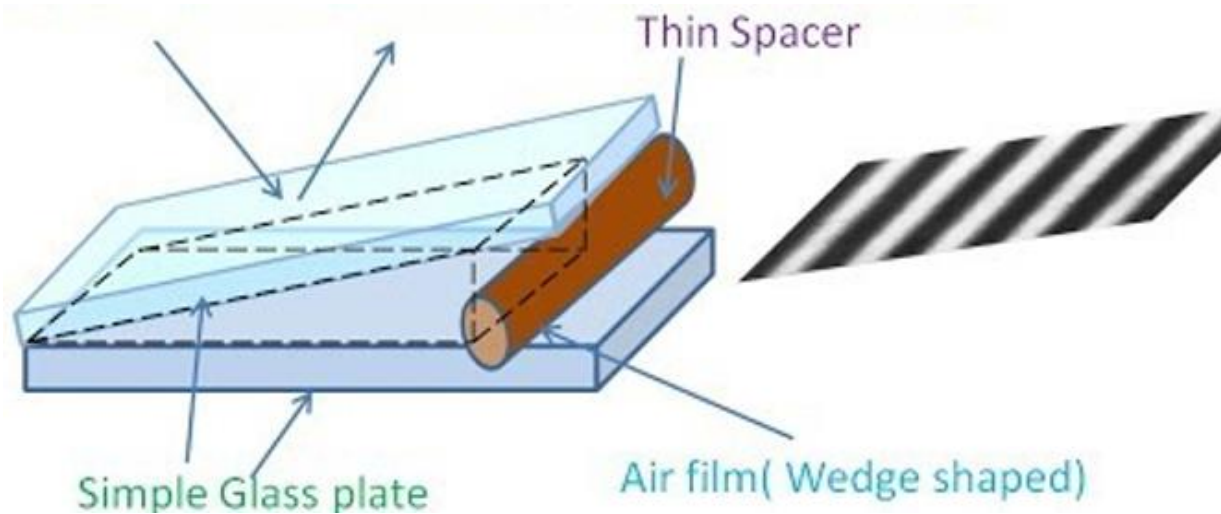
$$k=2, \lambda = 5054 \text{ \AA} \quad \text{绿色}$$

$$k=3, \dots$$



### 13.3.3 等厚干涉—劈尖干涉

#### 1. 实验装置与实验现象



劈尖：上面玻璃的下表面和下面玻璃的上表面和中间的空气形成劈尖

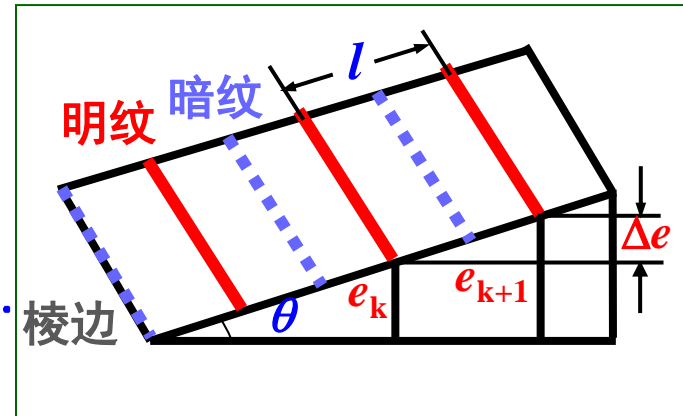
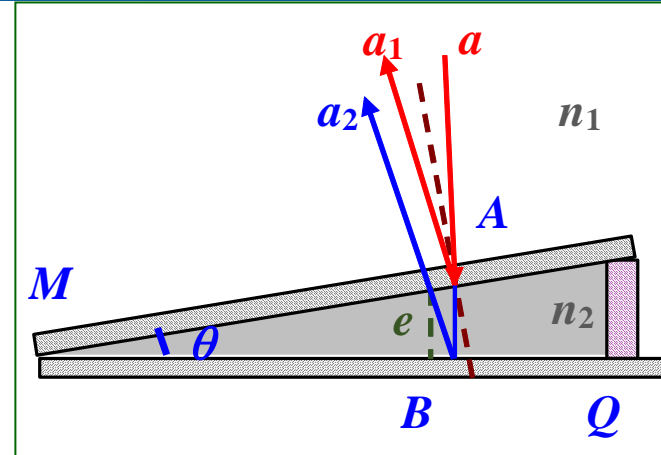
## 2. 光程差

$$\delta = 2n_2e + \begin{cases} 0 & \text{界面反射条件同} \\ \frac{\lambda}{2} & \text{界面反射条件不同} \end{cases}$$

### A 干涉条纹明暗条纹条件

明条纹  $\delta = 2n_2e + \frac{\lambda}{2} = k\lambda \quad k = 1, 2, 3 \dots$

暗条纹  $\delta = 2n_2e + \frac{\lambda}{2} = (2k + 1)\frac{\lambda}{2} \quad k = 0, 1, 2 \dots$

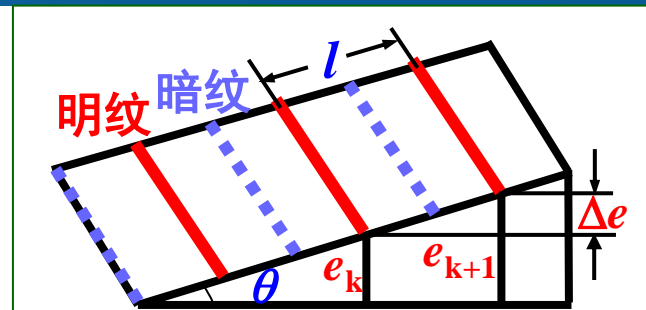


等厚干涉：同一条条纹对应的薄膜厚度相同，条纹和膜的等厚线重合

- 劈尖干涉的图样是一系列明暗相间的，平行于棱边的直条纹；
- 棱边处是暗纹(半波损失)，随着膜厚增加亮(暗)纹级次依次增加

## B 相邻明、暗条纹间距

$$\delta = 2n_2e + \frac{\lambda}{2} = k\lambda \Rightarrow \Delta\delta = 2n_2\Delta e = \Delta k \cdot \lambda \Rightarrow$$



相邻两明(暗)条纹对应的薄膜厚度差  $\Delta e = e_{k+1} - e_k = \frac{\lambda}{2n_2}$

相邻两明(暗)条纹对应的斜面间距  $l = \frac{\Delta e}{\sin\theta} = \frac{\lambda}{2n_2 \sin\theta} \approx \frac{\lambda}{2n_2\theta}$

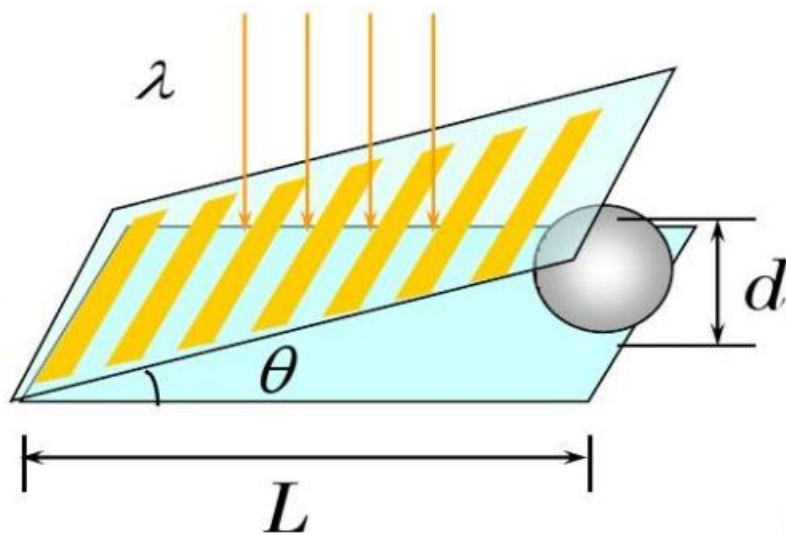
- 条纹是等间距的，同一条明(暗)纹对应薄膜厚度相等；
- 任意两个相邻亮(暗)纹所对应的薄膜厚度差是介质中的半个波长；
- 随着劈尖角度  $\theta$  增加，条纹越来越密集；
- 波长增加，则条纹变稀疏。

思考：

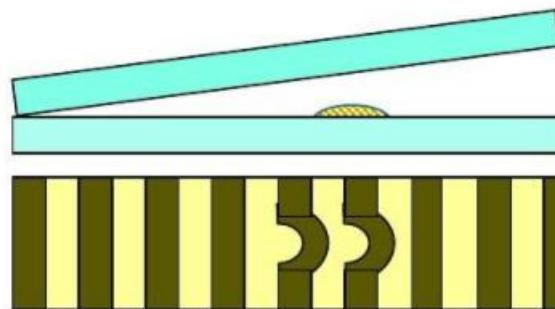
- (1)如果用手指轻压劈尖，劈尖上表面向下轻微移动，干涉条纹如何移动？
- (2)劈尖上表面平行下移，条纹如何变化

讨论：

- (1) 等厚干涉典型特征：等厚、厚度差半波长
- (2) 劈尖干涉的典型应用 (微小厚度、角度、长度、表面平整度测量)



测微小厚度



检查工件表面平整度

例13.3.4: 已知  $\text{SiO}_2$ 、 $\text{Si}$  的折射率分别为  $n_2=1.46$ ,  $n_3=3.42$ , 入射波波长  $\lambda=6328\text{\AA}$ , 观察到斜劈斜面的最高点出现第八条亮条纹

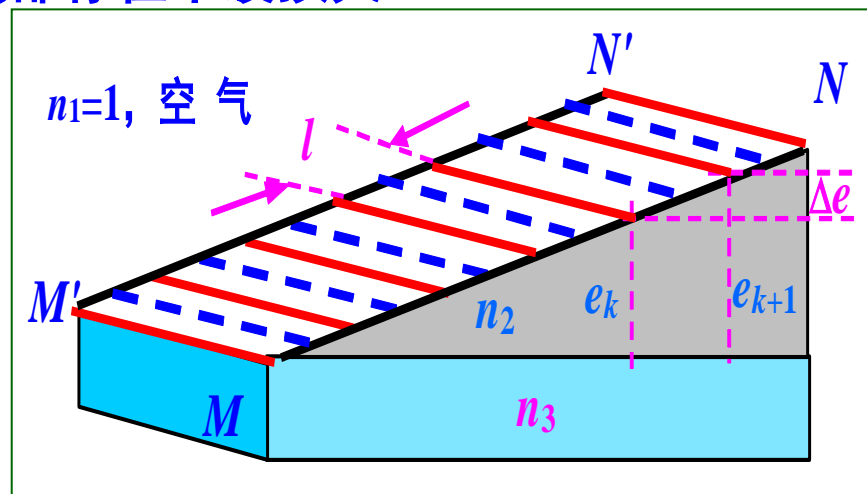
求:  $\text{SiO}_2$  的厚度

解:  $n_1 < n_2 < n_3$  时, 在劈尖上下表面点都存在半波损失

光程差  $\delta = 2n_2e$

由明条纹条件

$$\delta = 2n_2e = k\lambda \quad k = 0, 1, 2, \dots$$



当  $e=0$  时,  $\delta=0$ , 在棱边  $MM'$  出现第一条 (0级) 明纹, 故  $\Delta k=7$

$$e = \Delta k \frac{\lambda}{2n_2} = 1.52 \quad (\mu\text{m})$$

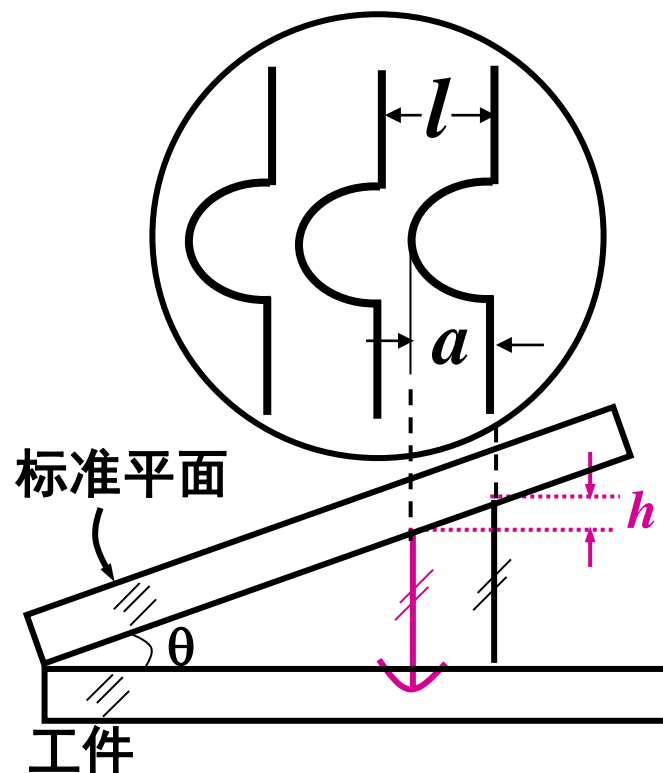
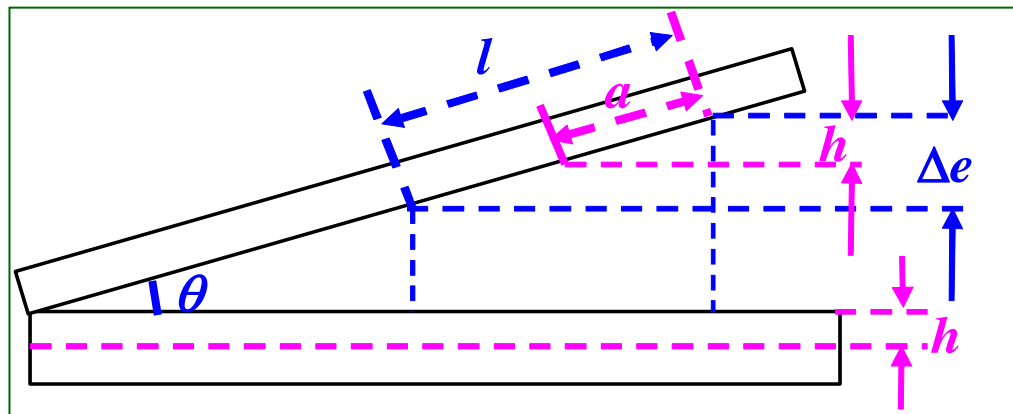
**例13.3.5：** 工件表面的斜劈干涉条纹如图所示，已知相邻明条纹在斜面上的间距 $l$ ，以及某条干涉条纹在斜面上弯曲部分的长度 $a$

**问：** (1) 工件表面是凸痕还是凹痕； (2) 痕的深度

**解：** (1) 等厚干涉条纹向前弯曲，为**凹纹**，凹纹方向与明(暗)纹方向**垂直**

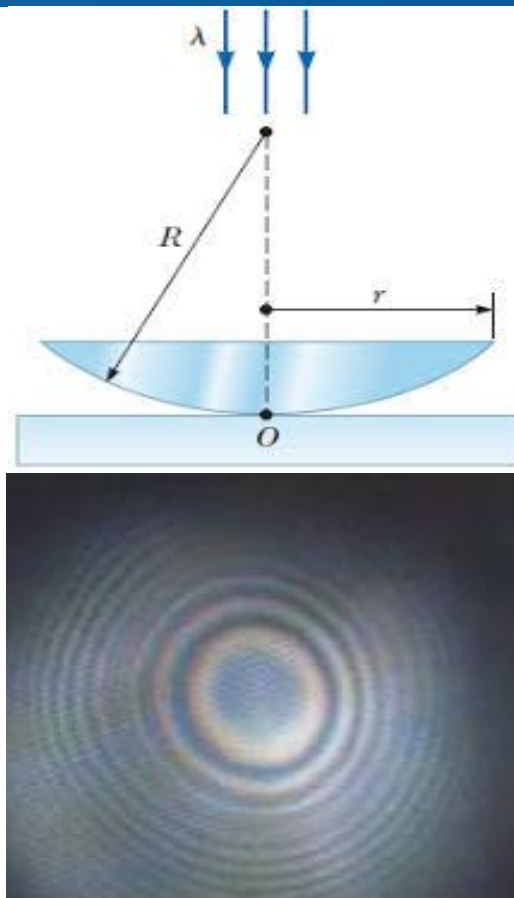
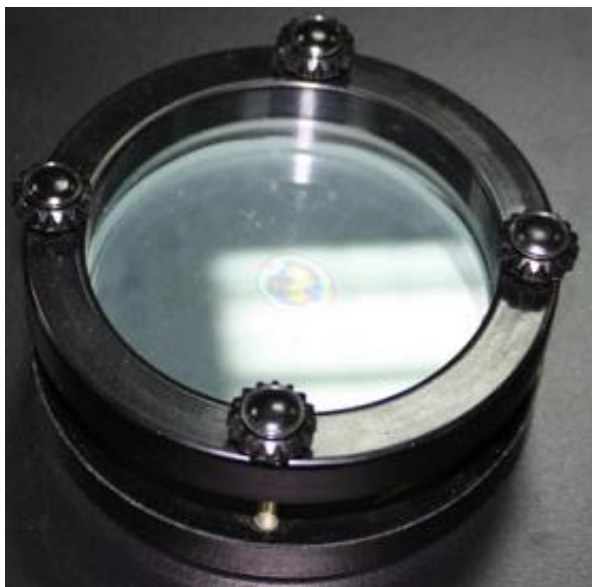
(2) 痕的深度

$$\frac{a}{l} = \frac{h}{\Delta e} \Rightarrow h = \frac{a}{l} \Delta e = \frac{a}{l} \frac{\lambda}{2n_2} = \frac{a}{l} \frac{\lambda}{2}$$



### 13.3.4 等厚干涉—牛顿环干涉

#### 1. 实验装置与实验现象



**实验装置：**上表面为平凸透镜、下表面为平板玻璃的**环状空气劈形薄膜**

**牛顿环：**单色平行光垂直入射，在反射光中观察到一组以接触点为中心的同心圆环。

## 2. 光程差计算

$$\delta = 2n_2e + \frac{\lambda}{2}$$

### A 明暗条纹条件

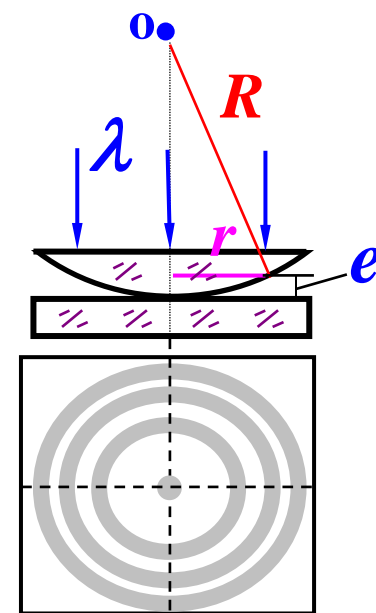
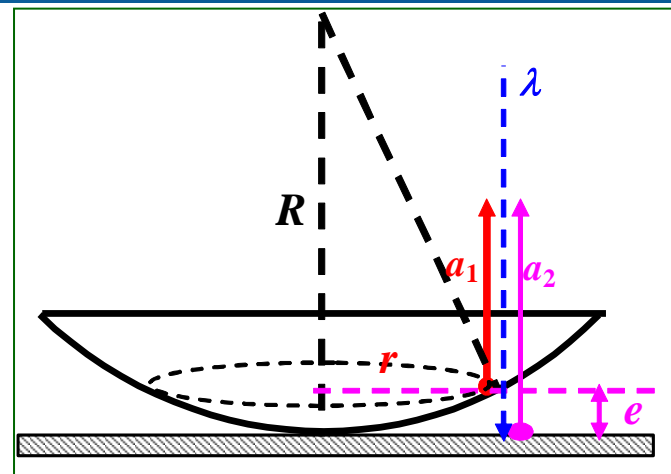
明条纹  $\delta = 2n_2e + \frac{\lambda}{2} = k\lambda \quad k = 1, 2, 3, \dots$

暗条纹  $\delta = 2n_2e + \frac{\lambda}{2} = (2k + 1)\frac{\lambda}{2} \quad k = 0, 1, 2, \dots$

### B 明暗牛顿环的半径

$$r^2 = R^2 - (R - e)^2 \approx 2Re \Rightarrow r^2 = 2Re$$

$$\Rightarrow \left\{ \begin{array}{l} \text{明环半径 } r_k = \sqrt{(k - \frac{1}{2}) \frac{R\lambda}{n_2}} \\ \text{暗环半径 } r_k = \sqrt{k \frac{R\lambda}{n_2}} \end{array} \right.$$





$$\text{明纹} \quad \delta = 2n_2e + \frac{\lambda}{2} = k\lambda \quad r_k = \sqrt{\left(k - \frac{1}{2}\right) \frac{R\lambda}{n_2}}$$

$$\text{暗纹} \quad \delta = 2n_2e + \frac{\lambda}{2} = (2k+1)\frac{\lambda}{2} \quad r_k = \sqrt{k \frac{R\lambda}{n_2}}$$

讨论:

- 等厚处对应同一亮度，条纹是一系列明暗相间的圆环；
- 空气薄膜牛顿环中心为暗圆斑，从内到外亮(暗)纹的级次增加；
- 相邻明、暗环之间的距离随半径的增大而减小 (内疏外密)
- 不同波长对同一牛顿环装置所形成的同一级环纹半径不同

牛顿环应用：

$$r_{k+m}^2 - r_k^2 = mR\lambda / n_2$$

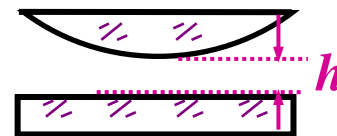
- 测透镜球面的半径 $R$ ： 已知 $\lambda$ ，测  $m$ 、 $r_{k+m}$ 、 $r_k$ ，可得 $R$
- 测波长 $\lambda$ ： 已知 $R$ ，测出 $m$ 、 $r_{k+m}$ 、 $r_k$ ，可得 $\lambda$ 。
- 检验透镜球表面质量

**思考：**(1) 平凸透镜往上移，条纹怎么移动？

**解：**设平凸透镜上移距离为 $h$

明条纹对应光程差  $\delta = 2n_2h + 2n_2e + \frac{\lambda}{2} = k\lambda$

明环半径  $r_k = \sqrt{\frac{(k - \frac{1}{2})\lambda - 2n_2h}{n_2}} R$



**分析：**对于 $k$ 级明条纹(光程差确定)， $h$ 增大， $r_k$ 减小，条纹向中心缩进

**结论：**

平凸透镜**上移**：中心点亮暗交替，周围圆环不断向中心**缩进**

平凸透镜**下移**：中心点亮暗交替，周围圆环不断向外**冒出**

(2) 白光入射的条纹什么样？  $\delta = 2n_2e + \frac{\lambda}{2} = k\lambda \quad r_k = \sqrt{(k - \frac{1}{2}) \frac{R\lambda}{n_2}}$

例13.3.6：检查待测工件与标准工件是否吻合时，观察到两条暗条纹

求：(1) 待测工件与标准工件间的最大缝隙

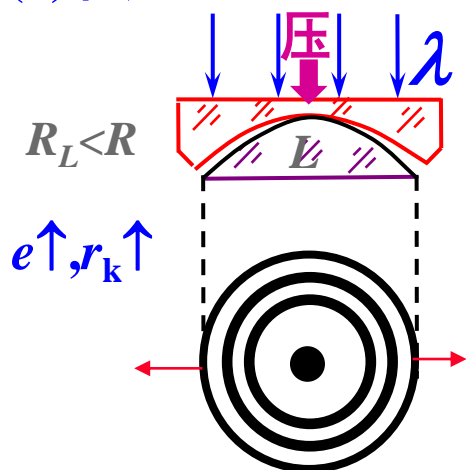
(2) 轻压标准工件，如环纹向外扩张，标准半径 $R$ 与待测工件 $R_L$ 半径有何关系

解：(1) 标准与待测件间的缝隙不超过三条暗纹的缝隙距离

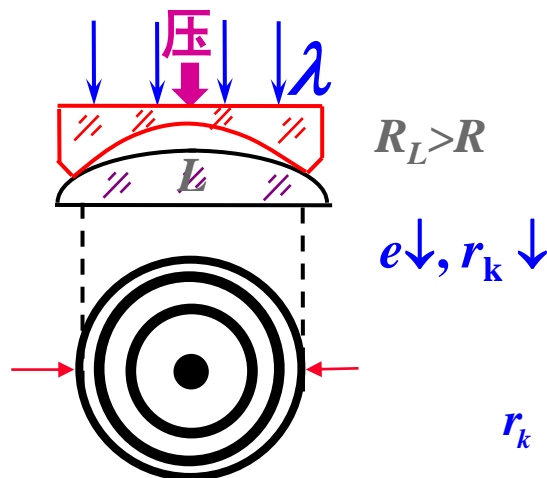
$$\text{暗纹形成条件 } \delta = 2n_2e + \frac{\lambda}{2} = (2k+1)\frac{\lambda}{2} \quad k = 0, 1, 2, \dots$$

$$\text{取 } k < 3 \Rightarrow e_{\max} < \frac{3}{2}\lambda$$

(2) 轻压标准件

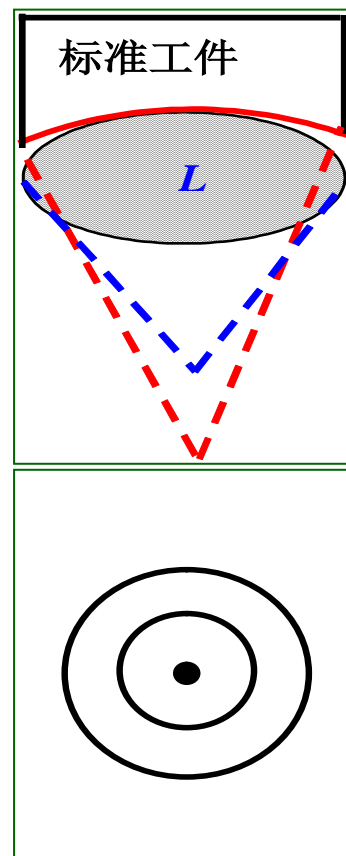


环纹外扩

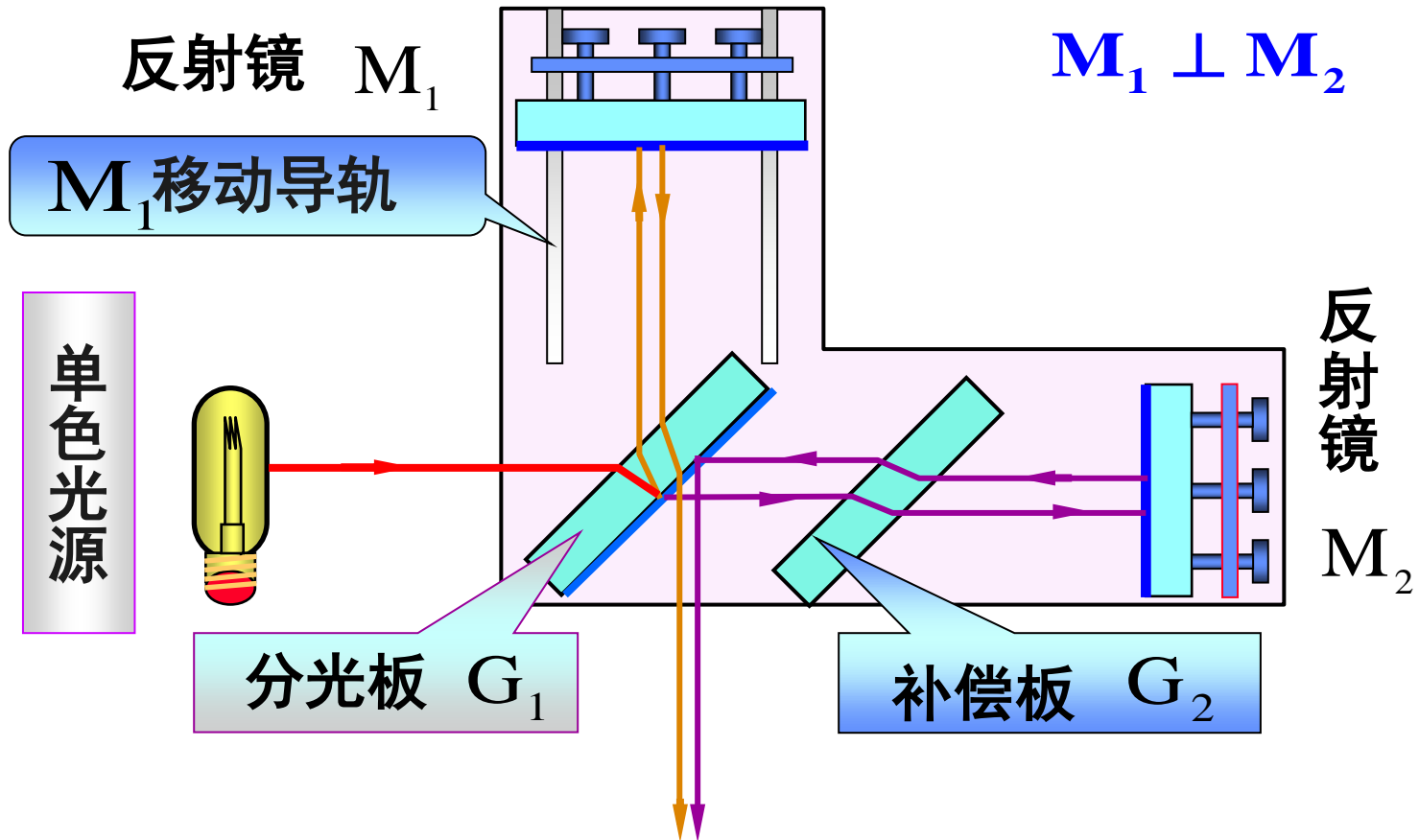


环纹收缩

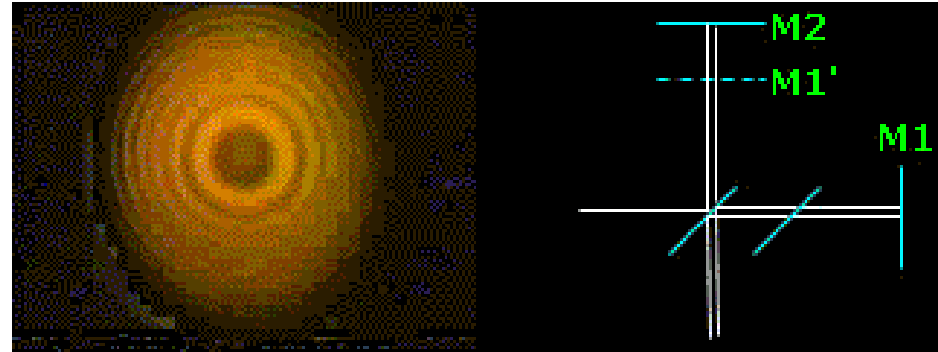
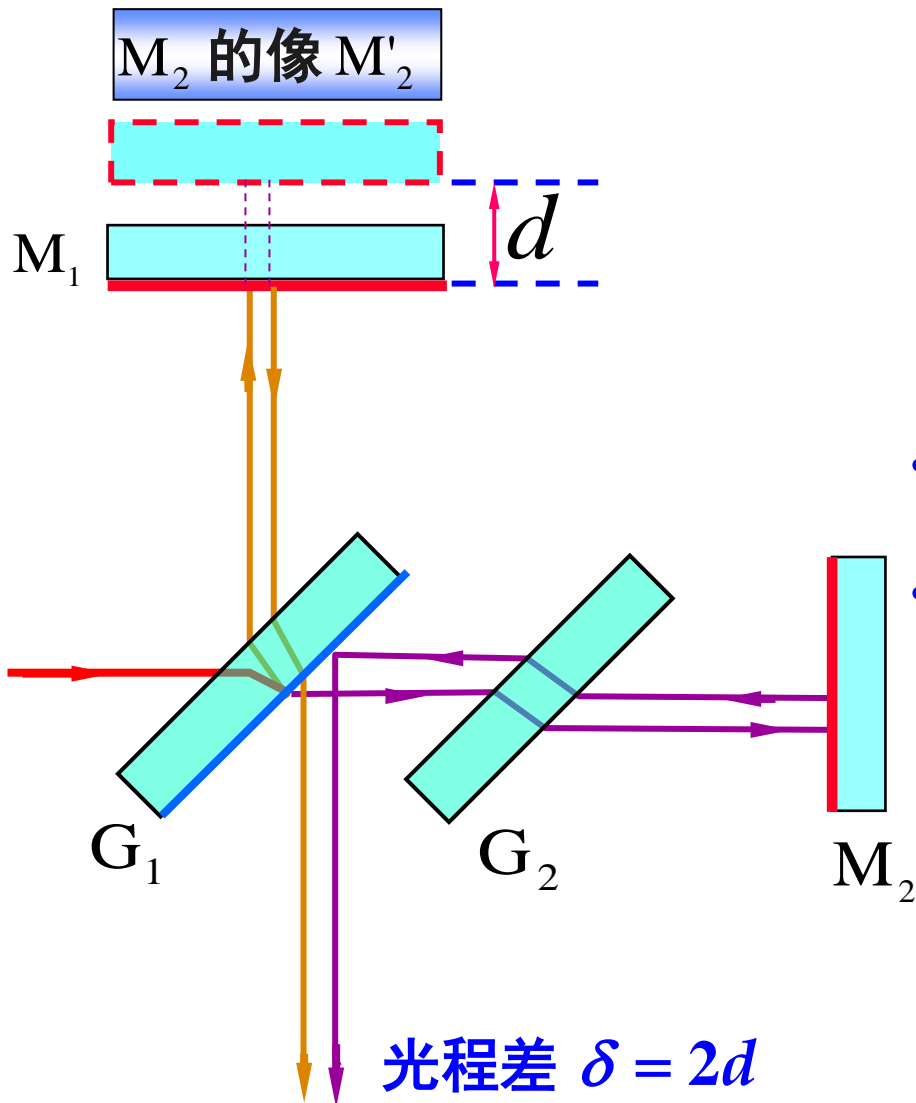
$$r_k = \sqrt{2Re}$$



## 13.4 迈克尔逊干涉仪



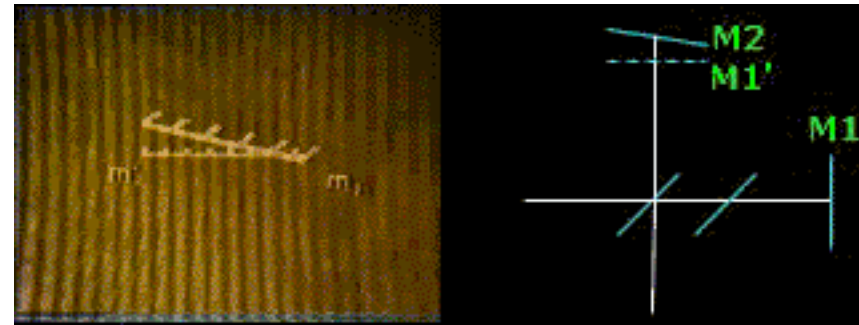
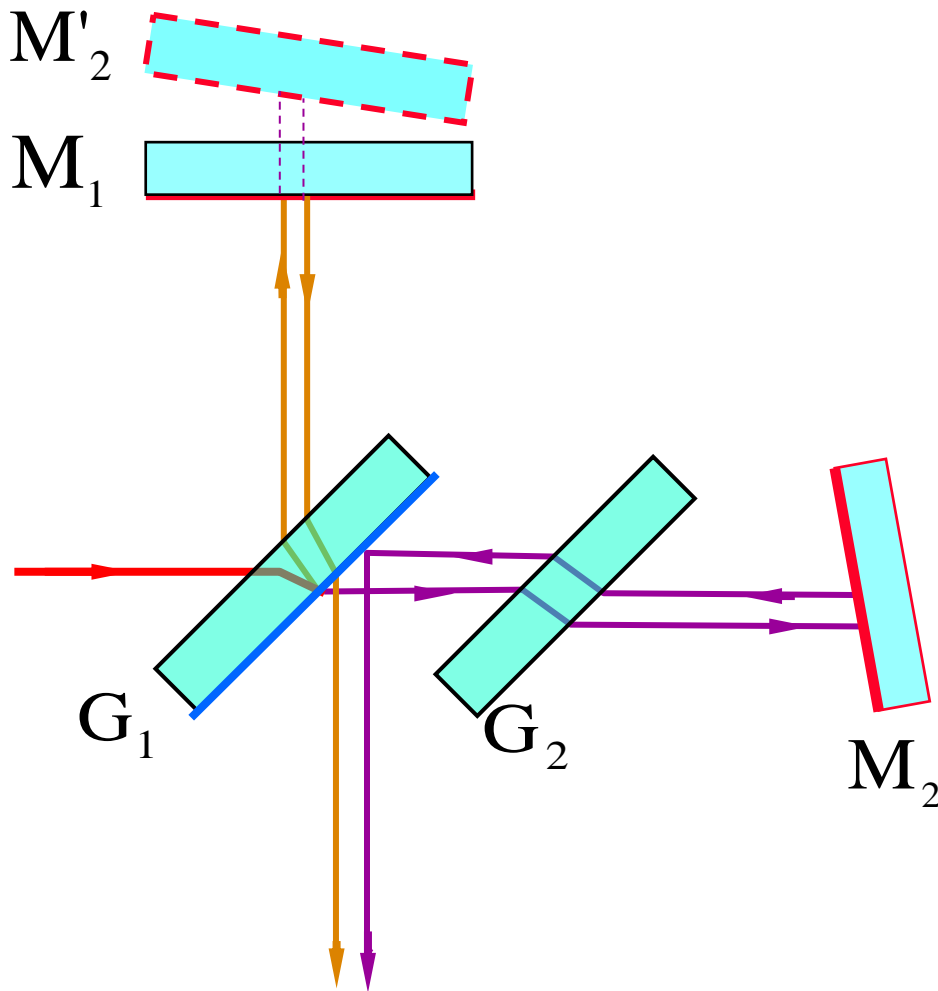
$G_1 // G_2$  与  $M_1, M_2$  成  $45^\circ$  角



等倾干涉

- $M_2$ 和 $M_1$ 距离增加，相当于膜厚增加，
- 每当 $M_1$ 移动 $\lambda/2$ ，光线1、2的光程差就改变一个 $\lambda$ ，视场中就会看见一条条纹移过。
- 设  $M_1$  移动距离为  $\Delta d$ ，条纹移动数为  $N$

$$\Delta d = N \frac{\lambda}{2}$$



## 等厚干涉

当 $M_1$ 、 $M_2$ 不严格垂直时， $M_1$  和 $M_2'$ 之间形成空气劈尖，形成等厚干涉条纹

**例13.4.1：**把厚度 $e$ 、折射率 $n=1.40$ 的透明薄膜插入迈克尔逊干涉仪的一臂(一条光路)中。

**求：**(1) 光线1、2光程差和位相差的改变量；

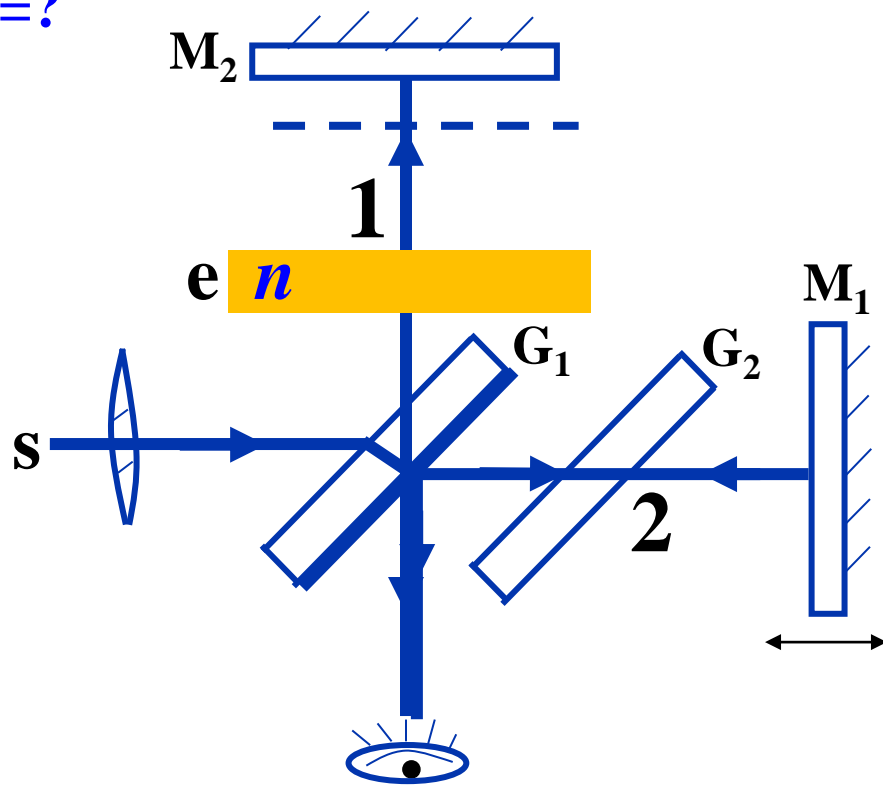
(2) 若插入薄膜的过程中，观察到7条明纹移过，所用波长 $\lambda=5890\text{\AA}$ ，求薄膜的厚度 $e=?$

**解：**(1)  $\Delta\delta=2(n-1)e$

$$\Delta\phi = \frac{2\pi}{\lambda} \Delta\delta = \frac{4\pi(n-1)e}{\lambda}$$

(2) 由 $\Delta\delta=2(n-1)e=7\lambda$ 得：

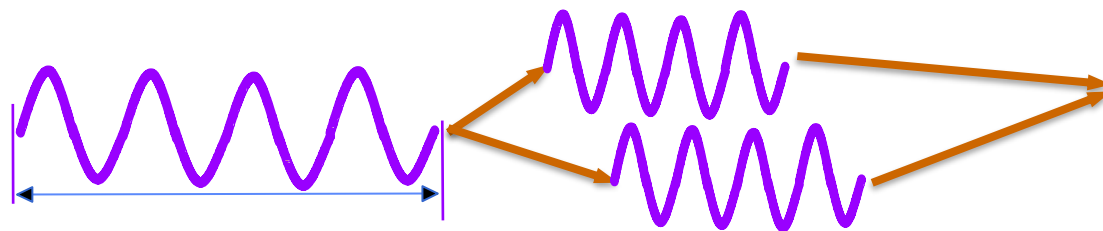
$$e = \frac{7\lambda}{2(n-1)} = 51538\text{\AA}$$



## 13.5 时间相干性与空间相干性

### 1. 相关概念

普通光源  $\Rightarrow$  分光束  $\Rightarrow$  相干光



波列长度  $L = c\tau$

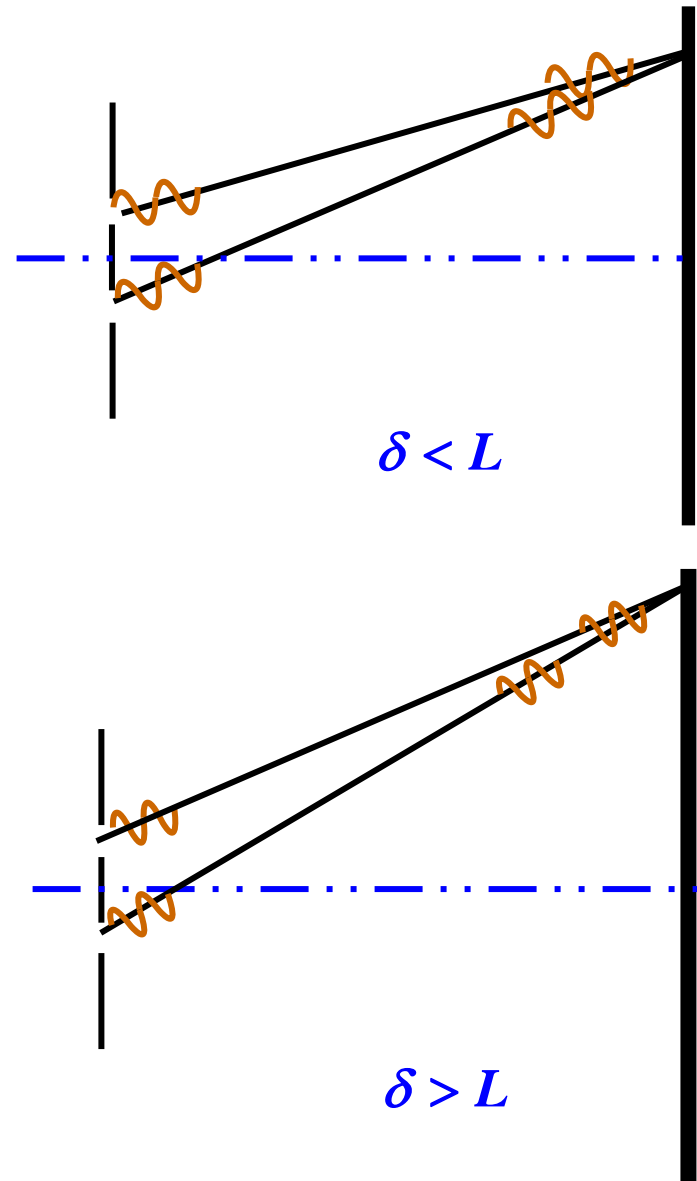
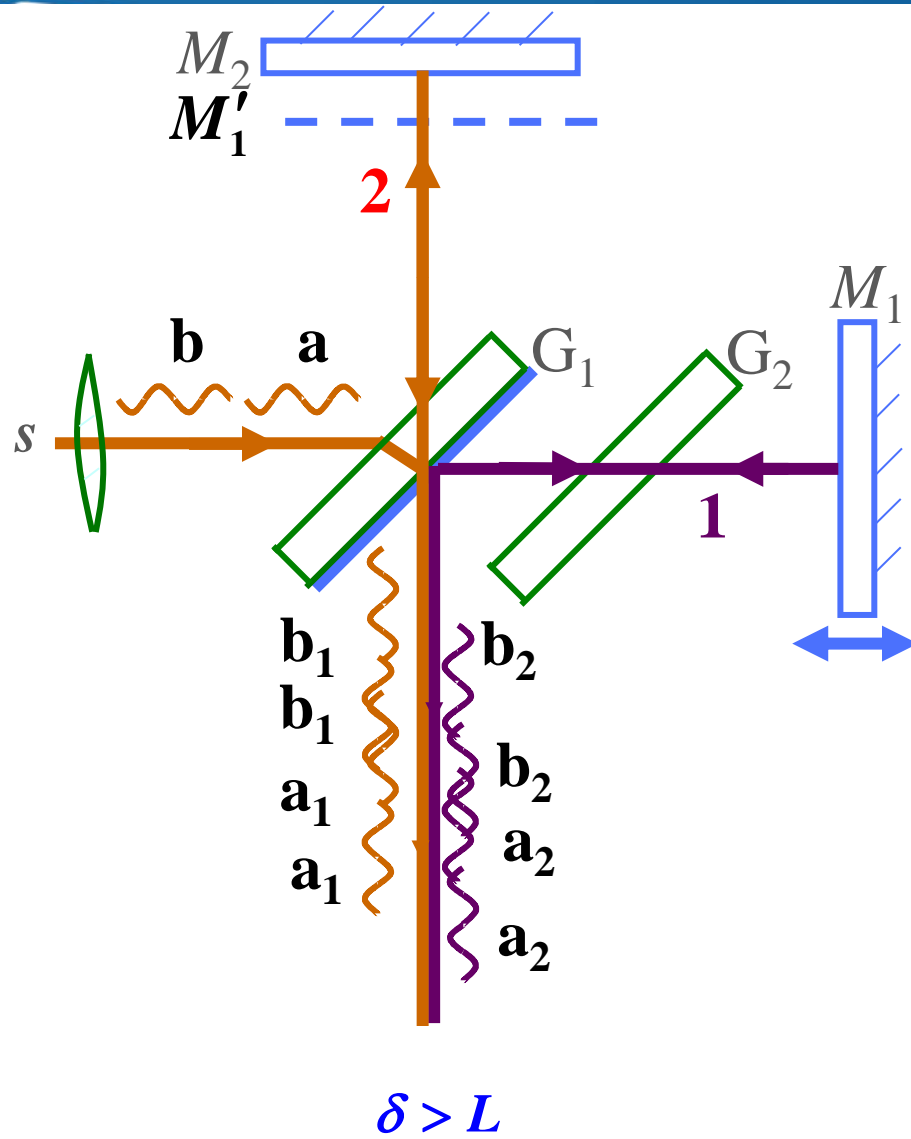
要产生干涉现象，这两束光到达相遇点的光程差须小于一个波列长度，即两波列必须部分重叠。  $\delta < L = c\tau$

时间相干性：两列光信号受时间间隔约束发生的干涉现象

相干长度：波列长度  $L$

相干时间：波列发光持续时间  $\tau$





- 相干长度  $L=c\tau$ ，即相干长度  $L$  也可以用  $\tau$  来描述，
- $\tau$  为相干时间，由它决定的相干性为时间相干性。

## 2. 相干长度与谱线宽度

原子跃迁发出的光波不是严格的单色光，有一定的谱线宽度

由量子理论可知各激发态的  $E$  是不确定的，即

$$\Delta E \geq \frac{h}{\tau}$$

由能级不确定引起的谱线宽度(自然宽度):

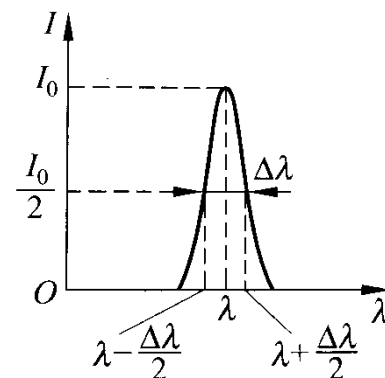
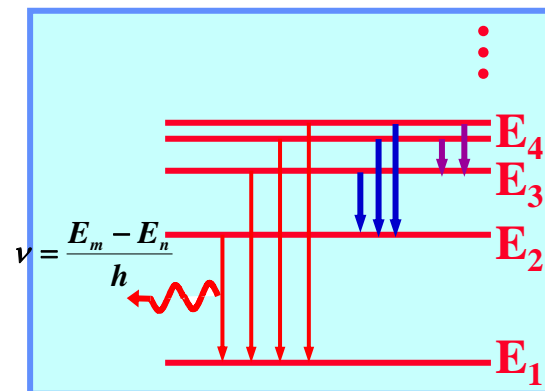
$$\Delta \nu = \frac{\Delta E}{h} = \frac{1}{\tau}$$

用波长表示谱线宽度:

$$\nu = \frac{c}{\lambda} \Rightarrow \Delta \nu = \left| -\frac{c}{\lambda^2} \Delta \lambda \right|$$

相干长度

$$L = c\tau = \frac{c}{\Delta \nu} = \frac{\lambda^2}{\Delta \lambda}$$



相干长度  $L = c\tau = \frac{\lambda^2}{\Delta\lambda}$

- 相干长度与谱线宽度成反比；
- $\Delta\lambda$  越小光源的单色性愈好，相干长度愈大，时间相干性愈好。

普通光源的相干长度为 $10^{-3} \sim 10^{-1}\text{m}$ ，而激光的相干长度为 $10^2 \sim 10^4\text{m}$ 。

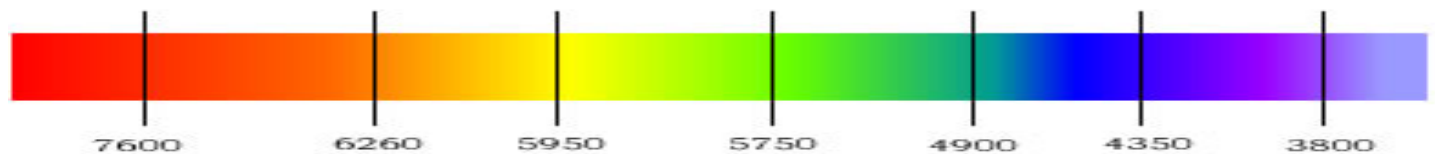
讨论：为什么窗玻璃在阳光下看不见干涉条纹？

阳光：  $\Delta\lambda = (7900 - 3900)\text{\AA}$ ，  $\lambda = 6000\text{\AA}$

相干长度：  $L = 9 \times 10^{-7}\text{m} = 9 \times 10^{-4}\text{mm}$

He-Ne激光：  $\lambda = 6328\text{\AA}$ ，  $\Delta\lambda = 10^{-7}\text{\AA}$

相干长度：  $L = 40\text{km}$



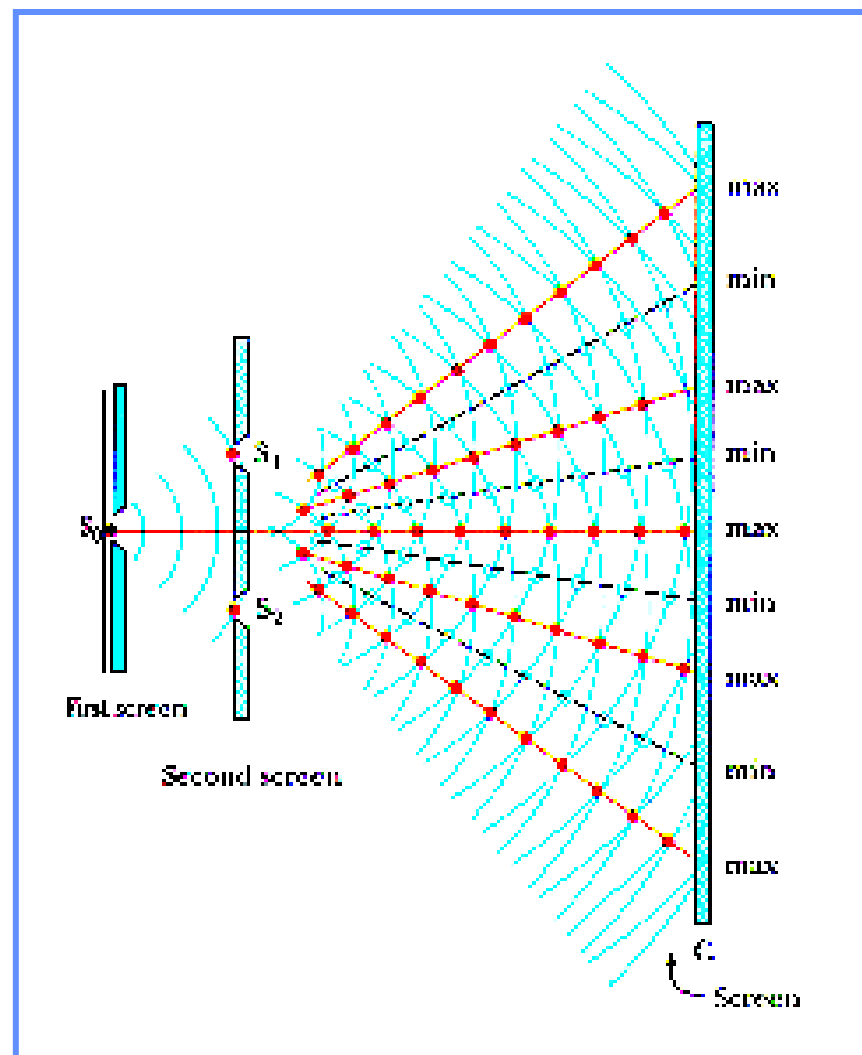
### \*3.空间相干性 (P.184)

光源的尺度对干涉结果有重要影响。

空间相干性：光源空间尺寸大到一定程度时，干涉效应不明显

分析方法：把宽度为  $b$  的光源看作为由若干线光源组成

判据：光源中心点产生的明条纹与光源边缘产生暗条纹重合



## 空间相干条件

单缝边缘处的线光源在  $o$  点产生一级暗纹条件

$$r_2 - r_1 = \frac{\lambda}{2}$$

$$r_1^2 = l^2 + \left(\frac{d-b}{2}\right)^2$$

$$r_2^2 = l^2 + \left(\frac{d+b}{2}\right)^2$$

$$\Rightarrow (r_2 + r_1)(r_2 - r_1) = bd$$

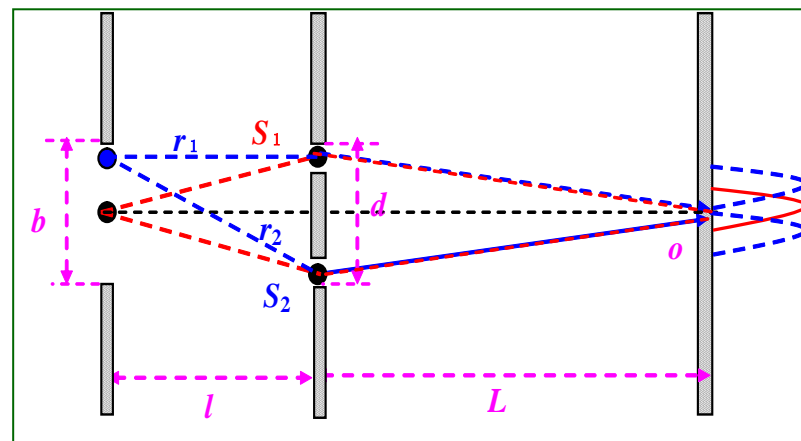
考虑到  $b \ll l$ ,  $r_1 + r_2 \approx 2l$

$$\Rightarrow d \leq \frac{l\lambda}{b}$$

$$\text{或 } b \leq \frac{l\lambda}{d}$$

结论：

宽度为  $b$  的普通光源所发出光波的波阵面上，只有来自两点距离小于  $l\lambda/b$  的光才是相干的。



由这空间距离决定的相干性，称为空间相干性。

## 本章小结

### 1.光的相干叠加

#### 1.1光强

$$I = I_1 + I_2 + 2\sqrt{I_1 I_2} \cos \Delta\varphi$$

$$\Delta\varphi = (\varphi_2 - \varphi_1) - \frac{2\pi}{\lambda}(r_2 - r_1)$$

$$= \begin{cases} \pm 2k\pi \text{ 时, } I_{\max} = I_1 + I_2 + 2\sqrt{I_1 I_2} & \text{—干涉相长, 亮纹} \\ \pm (2k+1)\pi \text{ 时, } I_{\min} = I_1 + I_2 - 2\sqrt{I_1 I_2} & \text{—干涉相消, 暗纹} \end{cases}$$

$$k = 0, 1, 2, \dots$$

## 1.2光程

光程：光在真空中所走过的几何路程  $= nr$

光程差： $\delta = n_2 r_2 - n_1 r_1$

□ 如果  $\varphi_1 = \varphi_2$ ， 则  $\Delta\varphi = \frac{2\pi}{\lambda} \delta$

当光程差  $\delta = \begin{cases} \pm k\lambda & \text{干涉相长, 亮纹} \\ \pm(2k+1)\frac{\lambda}{2} & \text{干涉相消, 暗纹} \end{cases}$

$k = 0, 1, 2, \dots$

## 2.杨氏双缝干涉

### (1)明暗纹条件

$$\delta = \frac{dx}{D} = \begin{cases} \pm k\lambda & \text{明纹} & (k = 0, 1, 2, \dots) \\ \pm(2k+1)\frac{\lambda}{2} & \text{暗纹} & (k = 0, 1, 2, \dots) \end{cases}$$

### (2)相邻亮纹(或暗纹)间的距离为

$$\Delta x = x_{k+1} - x_k = \frac{D}{d} \lambda$$



### 3.薄膜干涉

#### 3.1薄膜干涉公式

(1)  $n_1 < n_2 > n_3$  或  $n_1 > n_2 < n_3$  有附加光程差 $\lambda/2$ !

(2)  $n_1 < n_2 < n_3$  或  $n_1 > n_2 > n_3$  无附加光程差!

$$\delta = 2e\sqrt{n_2^2 - n_1^2 \cdot \sin^2 i} + \begin{cases} \lambda/2 & (1) \\ 0 & (2) \end{cases}$$

#### 3.2薄膜干涉的两种类型

(1)薄膜厚度均匀——等倾干涉  $\delta = \delta(i)$

(2)薄膜厚度不均匀，平行光入射即  $i$  相同——等厚干涉

$$\delta = \delta(e)$$

### 3.3劈尖干涉

#### (1)明、暗纹条件(单色平行光垂直入射)

$$\delta(e) = 2n_2e + \frac{\lambda}{2} = \begin{cases} k\lambda & \text{明纹 } (k=1,2,\dots) \\ (2k+1)\frac{\lambda}{2} & \text{暗纹 } (k=0,1,2,\dots) \end{cases}$$

#### (2)条纹(两明纹或暗纹)间距

$$l = \frac{\Delta e}{\sin \theta} = \frac{\lambda}{2n_2 \sin \theta}$$

#### (3)劈尖干涉的应用

测波长 $\lambda$ 、测折射率、测细小直径、厚度、微小变化、

测表面不平度

### 3.4 牛顿环干涉

(1) 明、暗纹条件(单色平行光垂直入射)

$$\delta(e) = 2n_2e + \frac{\lambda}{2} = \begin{cases} k\lambda & \text{明纹 } (k=1,2,\dots) \\ (2k+1)\frac{\lambda}{2} & \text{暗纹 } (k=0,1,2,\dots) \end{cases}$$

(2) 明、暗纹半径:

$$\text{明环} \quad r_k = \sqrt{\left(k - \frac{1}{2}\right) \frac{R\lambda}{n_2}}, \quad k = 1, 2, 3, \dots$$

$$\text{暗环} \quad r_k = \sqrt{k \frac{R\lambda}{n_2}}, \quad k = 0, 1, 2, 3, \dots$$

### (3)牛顿环的应用

$$r_{k+m}^2 - r_k^2 = mR\lambda / n_2$$

- 测透镜球面的半径 $R$ 、测波长 $\lambda$ 、检验透镜球表面质量

### 4.迈克尔逊干涉仪

$$d = N \frac{\lambda}{2}$$

### 5.时间相干性

相干长度

$$L = c\tau = \frac{c}{\Delta\nu} = \frac{\lambda^2}{\Delta\lambda}$$

$\tau$  称为相干时间